

Multidimensional models, TeV-scale gravity and micro black holes at the LHC

Savina Maria

*X Winter School on Theoretical Physics , BLTP, Dubna
February 05, 2012*

Extra Spatial Dimensions and KK modes for fields

Стандартный калуца-кляйновский подход

(4+1)D-теория свободного скалярного поля. Одно компактное дополнительное пространственное измерение с условием периодичности по доп. коорд.:

$$\eta_{\mu\nu} = +1, -1, -1, \dots -1; \quad (\partial_\mu \partial^\mu - \partial_y^2) \phi = 0, \quad \mu = 0, 1, 2, 3$$

КК-декомпозиция:

$$\phi(x, y) = e^{ip_\mu p^\mu} e^{in \frac{y}{R}}, \quad n = 0, \pm 1, \pm 2, \dots$$

$$p_\mu p^\mu = \frac{n^2}{R^2} = m^2 \leftarrow \begin{array}{l} \text{массы КК-мод} \\ \text{угловой момент} \end{array}$$

Существует однородная нулевая мода с $m=0$, распространяющаяся **вдоль браны** (модуль). 4D-лоренц-инвариантность не нарушена, трансляционная инв-ть нарушена в направлении, перпендикулярном бране

$m_{\text{КК}}$ не ниже ТэВ (из эксперимента)

Несколько ED:

по-прежнему одна

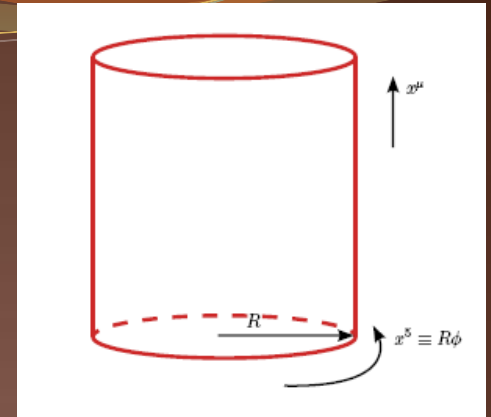
нулевая мода, но

много КК-мод с фиксир.

массой

$$\phi(x, y) = e^{ip_\mu p^\mu} e^{in_1 \frac{y_1}{R_1}} e^{in_2 \frac{y_2}{R_2}} \dots e^{in_N \frac{y_N}{R_N}}, \quad y_1, \dots, y_N \rightarrow R_1, \dots, R_N$$

$$m_{\{n\}}^2 = \sum \frac{n_i^2}{R_i^2}$$




5D vs 4D эффективное описание

Действие 5D-скалярного поля:

$$[\Phi] = M^{3/2}$$

$$S = \int d^4x \int_0^{2\pi R} dy \frac{1}{2} \partial_A \Phi \partial^A \Phi = \int d^4x \int_0^{2\pi R} dy \frac{1}{2} (\partial_\mu \Phi \partial^\mu \Phi - \partial_y \Phi \partial^y \Phi)$$

КК-декомпозиция:

$$\Phi(x, y) = \sum_n \phi_n(x) e^{in \frac{y}{R}}$$


$$S = \int d^4x \sum_n (2\pi R) \left[\frac{1}{2} |\partial_\mu \phi_n|^2 - \frac{1}{2} \frac{n^2}{R^2} |\phi_n|^2 \right]$$

объем ED

Свободное действие для бесконечного набора **4D** скалярных полей

Каноническая нормировка позволяет привести действие к совершенно стандартному виду

$$\tilde{\phi}_n(x) = \frac{1}{\sqrt{2\pi R}} \phi_n(x), \quad [\tilde{\phi}_n] = M$$

Взаимодействующее поле

$$S_{\text{int}} = \int d^4x \int_0^{2\pi R} dy \lambda^{(5)} \phi^4, \quad [\lambda^{(5)}] = \frac{1}{M}$$

Отрицательная степень массы для к-ты связи – **неперенормируемая** теория

$$E_{\text{strong}} \propto \frac{1}{\lambda^{(5)}} \equiv M_{(5)} \quad \text{Фундаментальный масштаб}$$

Как связаны многомерная и 4D константы взаимодействия? (КК-декомпозиция, учет только нулевой моды)

$$S_{\text{int}} = \int d^4x (2\pi R) \frac{\lambda^{(5)}}{(2\pi R)^2} \phi_0^4(x),$$

нормировка

$$\lambda^{(4)} = \frac{\lambda^{(5)}}{2\pi R}$$

два параметра:
 R и $M_{(5)}$

4D константа связи – не фундаментальная, а **эффективная**, выведенная из многомерной

Некоторые очевидные следствия:

1. Условие для слабосвязанной теории $\lambda^{(4)} \ll 1 \Rightarrow R \gg \lambda^{(5)} = \frac{1}{M_{(5)}}$

Размер ED не должен превышать значение обратной фундаментальной массы!

2. Условие на массы КК-мод $m_n = \frac{|n|}{R} \Rightarrow m_n \ll M_{(5)}$ для $n \approx 1$
 легкие КК-моды

3. Взаимодействие нулевой моды и высших возбуждений

$$S_{\text{int}} = \int d^4x \int_0^{2\pi R} dy \lambda^{(5)} \Phi^4 \longrightarrow \Phi^4 = \left(\phi_0 + \sum_{n \neq 0} \phi_n e^{in \frac{y}{R}} \right)^4 \frac{1}{(2\pi R)^2}$$

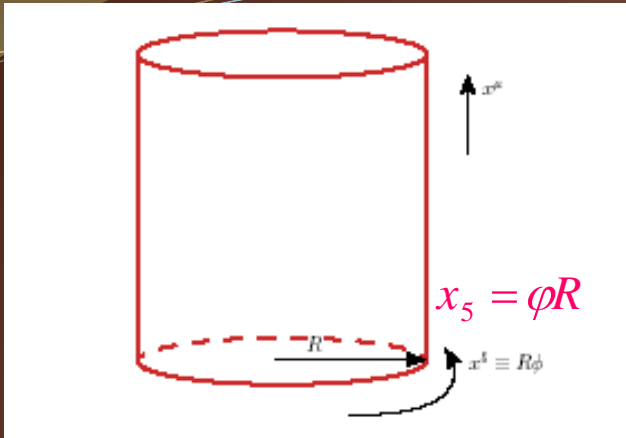
$$L_{\text{int}} = \frac{1}{(2\pi R)^2} \left[\phi_0^4 + 4\phi_0^3 \sum_{n \neq 0} \phi_n e^{in \frac{y}{R}} + 6\phi_0^2 \sum_{n \neq 0} \sum_{n' \neq 0} \phi_n \phi_{n'} e^{i(n+n') \frac{y}{R}} \right] \Rightarrow$$

$= 0, \quad \int dy \delta(y)$
 $\delta(n+n')$

$$S_{\text{int}} = \int d^4x 12\lambda^{(4)} \sum_{n \neq 0} \phi_0^2 \phi_n \phi_{-n}$$

\Rightarrow парное рождение КК-мод,
 сохранение углового момента

5D YM – КК декомпозиция, плоское пространство



SU(2) 5D YM (метрика Минковского), бесконечное доп. измерение

$M, N = 0, 1, 2, 3, 4, 5$ – 5D индексы,
 $\mu, \nu = 0, 1, 2, 3$ – 4D индексы

$$S = \text{Tr} \int d^4 x \int dx_5 \left[-\frac{1}{4} F_{MN} F^{MN} \right] = \text{Tr} \int d^4 x \int dx_5 \left[-\frac{1}{4} F_{\mu\nu} F^{\mu\nu} - \frac{1}{2} F_{\mu 5} F^{\mu 5} \right],$$

Аксиальная калибровка: $A_5 = 0$



$$S = \text{Tr} \int d^4 x \int dx_5 \left[-\frac{1}{4} F_{\mu\nu} F^{\mu\nu} + \frac{1}{2} (\partial_5 A_\mu)^2 \right]$$

Компактифицируем доп. измерение : $x_5 \equiv R\phi, \quad -\pi \leq \phi \leq \pi$

$$A_\mu(x^\mu, \phi) = A_\mu^{(0)}(x) + \sum_{n=1}^{\infty} \left(A_\mu^{(n)}(x) e^{in\phi} + h.c. \right) \quad \text{КК-декомпозиция}$$

НО: мы больше не можем работать а аксиальной калибровке !
 (калибр. пр-я не удовлетворяют условию периодичности)

$A_5(x^\mu, \phi) \equiv A_5^{(0)}(x)$: «почти» аксиальная (almost axial) калибровка

$$S = \text{Tr} \int d^4x \int_{-\pi}^{\pi} d\phi R \left[-\frac{1}{4} F_{\mu\nu} F^{\mu\nu} + \frac{1}{2} (\partial_\mu A_5^{(0)})^2 + \frac{1}{2} (\partial_5 A_\mu)^2 \right] =$$

$$= 2\pi R \text{Tr} \int d^4x \left[-\frac{1}{2} (\partial_\mu A_\nu^{(0)} - \partial_\nu A_\mu^{(0)})^2 + \frac{1}{2} (\partial_\mu A_5^{(0)})^2 + \sum_{n=1}^{\infty} \left[-\frac{1}{2} |\partial_\mu A_\nu^{(n)} - \partial_\nu A_\mu^{(n)}|^2 + \frac{n^2}{R^2} |A_\mu^{(n)}|^2 \right] + \mathcal{O}(A^3) \right]$$

4D калибровочное поле,
4D калибр. инв-ть.

4D "хиггс"

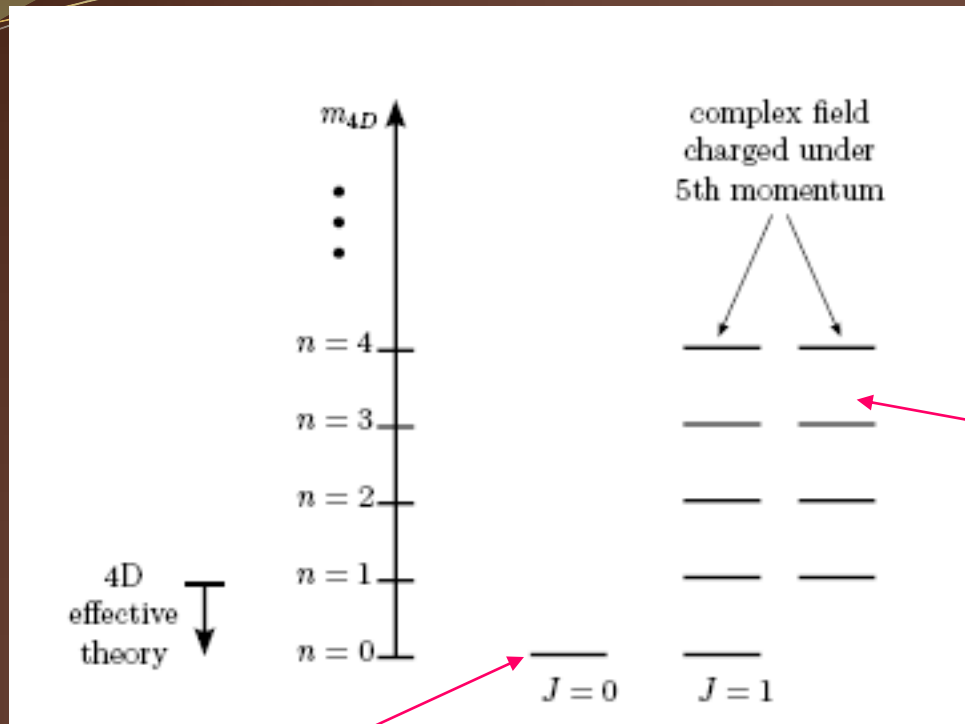
тяжелые КК-моды,
рождаются попарно,
из-за сохр. КК-импульса

Эффективное низкоэнергетическое действие (ниже $1/R$) :

$$S_{eff} \underset{E \ll \frac{1}{R}}{\approx} 2\pi R \text{Tr} \int d^4x \left[-\frac{1}{4} F_{\mu\nu}^{(0)} F^{(0)\mu\nu} + \frac{1}{2} (\partial_\mu A_5^{(0)})^2 \right]$$

4D калибровочная инвариантность сохраняется после выбора почти аксиальной калибровки

Спектр 4D КК-мод 5D калибровочного многомерного поля после КК-декомпозиции



КК-моды **4D вектора** – рождаются сопряженными парами, вследствие сохранения КК импульса

Мода $A_5^{(0)}$ играет роль хиггсовского бозона эффективной 4D теории – **4D скаляр**



получается после КК-декомпозиции пятимерного калибровочного поля.

Моды $A_5^{(n)}$ (КК-моды пятой компоненты) отсутствуют

Выше масштаба $1/R$ (R – радиус компактификации) теория становится пятимерной

5D гравитация – одно дополнительное измерение

5D действие - только производные от полей

$$S_{5DEinstein} = \int d^5 X \frac{\sqrt{-G}}{16\pi G_N^{5D}} R^{(5)} [G_{MN}]$$

$h_{MN}^{(0)}(x)$ нулевая мода – безмассовое 4D поле, без потенциала
(в приближении малости флуктуаций)

$h_{MN}^{(n)}(x)$ массивные КК-поля

$h_{\mu 5}^{(0)}(x)$ безмассовое калибровочное поле, защищенное остаточной калибровочной симметрией:

$$h'_{\mu 5}(X) = h_{\mu 5}(X) + \partial_M \varepsilon_5$$

оригинальная идея
Калуцы-Клейна по
объединению гравитации
и электромагнетизма

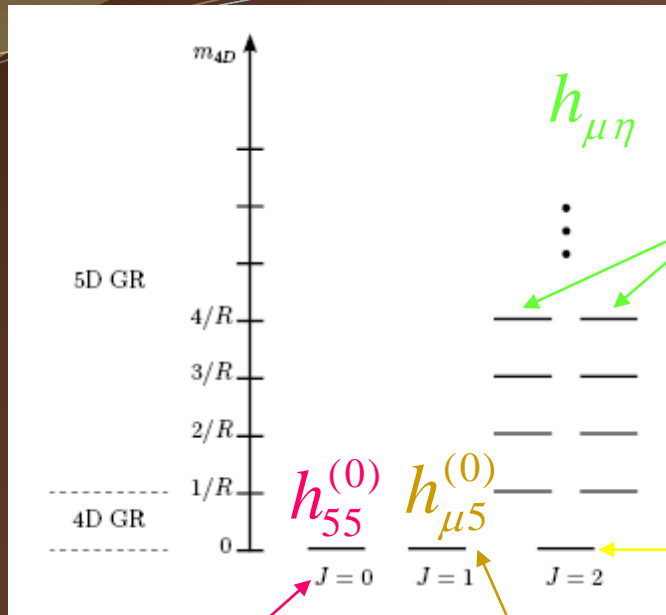
Эффективное 4D действие

$$S_{4D} = \int d^4 X \left\{ \frac{\sqrt{-g}}{16\pi G_N^{4D}} R^{(4)} [h_{\mu\nu}^{(0)}] + KK - \text{mod } es \right\}$$

остаточные симметрии :

4D калибровочная
4D общекоординатная

Результат КК-декомпозиции для 5D метрики



h_{AB} , $A, B=1, \dots, 5$ – многомерное поле.
После декомпозиции получаем набор полей в эффективном 4D действии:

4D тензоры
(массивные КК-моды)

стандартный
4D гравитон

$$\langle h_{\mu\nu}^{(0)} \rangle = 0$$

4D вектор
(калибр. бозон)

$$\langle h_{\mu 5}^{(0)} \rangle = 0$$

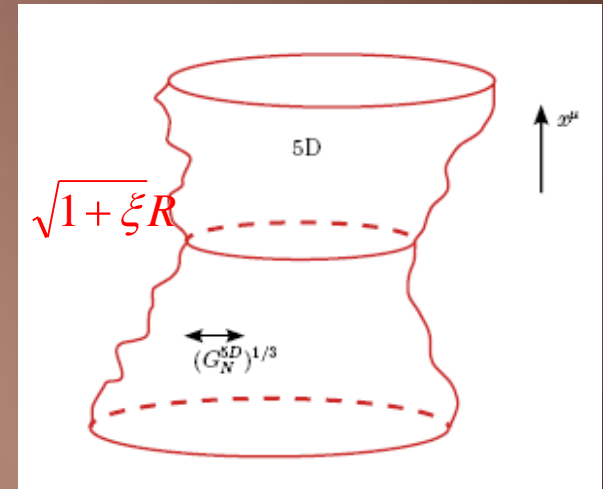
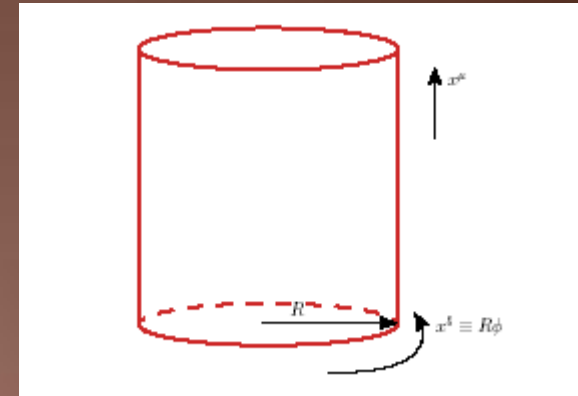
гравискаляр
(модуль)

Скаляр вводится как поле без потенциала
и не зависит от доп. координат (по выбору
калибровки)

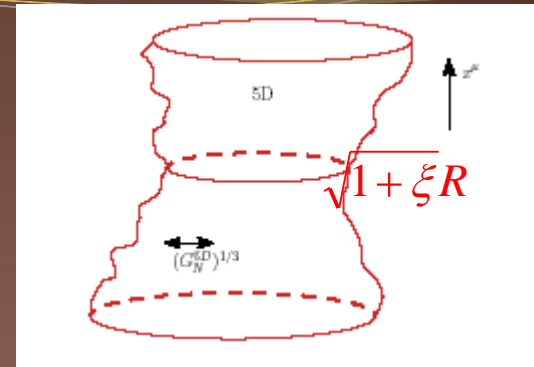
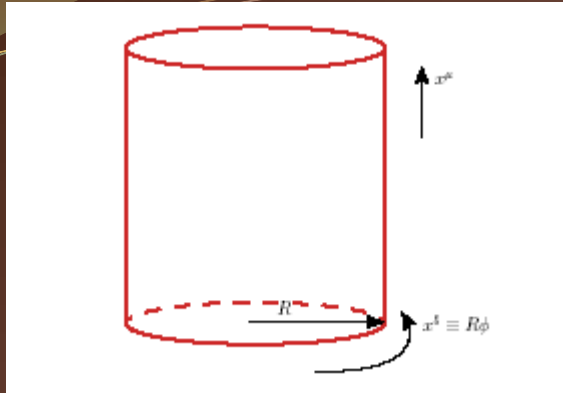
Ненулевое произвольное
вакуумное среднее

$$\longrightarrow \langle h_{55}^{(0)} \rangle = \xi$$

$$\langle ds^2 \rangle = \eta_{\mu\nu} dx^\mu dx^\nu - (1 + \xi) dx_5 dx_5 = \eta_{\mu\nu} dx^\mu dx^\nu - (1 + \xi) R^2 d\phi^2$$



Radion and stabilization of a modulus



$$\langle h_{\mu\nu}^{(0)} \rangle = 0$$

$$\langle h_{\mu 5}^{(0)} \rangle = 0$$

$$\langle h_{55}^{(0)} \rangle = \xi$$

VEV в 5D:

$$\langle ds^2 \rangle = \eta_{\mu\nu} dx^\mu dx^\nu - (1 + \xi) dx_5 dx_5 = \eta_{\mu\nu} dx^\mu dx^\nu - (1 + \xi) R^2 d\phi^2$$

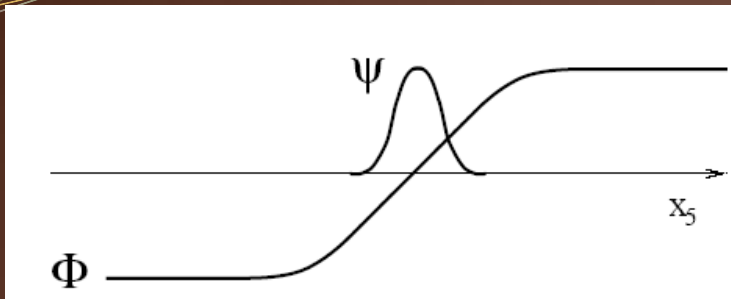
Пятимерный гиперцилиндр - флуктуации радиуса ! **Радион** →
 Разные радиусы соответствуют физически неэквивалентным ситуациям.
 пространство модулей теории.

Как выбрать одно значение - стабилизировать модуль?

Много разных способов - эфф. потенциал, добавка скаляров на границы и пр.

Локализация фермионов в фиксированных точках толстой браны

N.Arkani-Hamed, M.Schmaltz '99



Локализуются только **левые** фермионы



вводим правые через зарядовое сопряжение

(Q, U^c, D^c, L, E^c)

$$C_5 = \gamma^0 \gamma^2 \gamma^5 = \begin{pmatrix} \varepsilon & 0 \\ 0 & -\varepsilon \end{pmatrix}$$

«Геометрическое» подавление нежелательных процессов, типа В- и L-нарушающих переходов (нет симметрии ароматов на малых расстояниях)

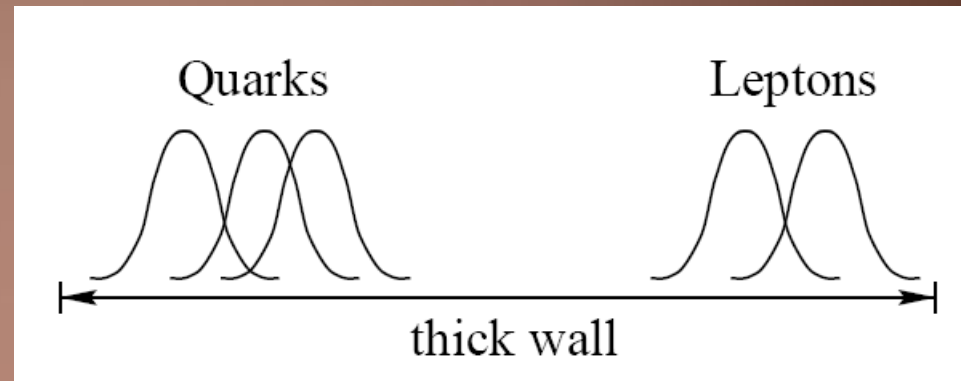


Подходяще **малые юкавские константы** связи в хиггсовском секторе без апеллирования к глобальным нарушенным симметриям

$$S = \int d^5 x \sum_{i,j} \bar{\Psi}_i [i\partial_5 + \lambda \Phi(x_5) - m]_{ij} \Psi_j$$

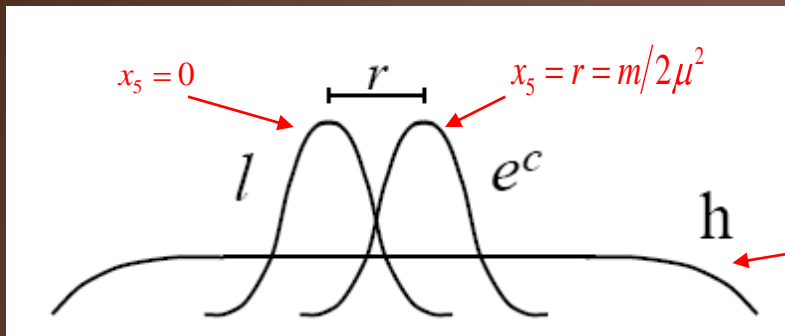
- Взаимодействие и смешивание между поколениями определяется **единственным** параметром – расстоянием между точками локализации ароматов

- Стабилизация отн. распада протона !



Взаимодействие в хиггсовском секторе (правые фермионы представлены через зарядово-сопряженные левые компоненты):

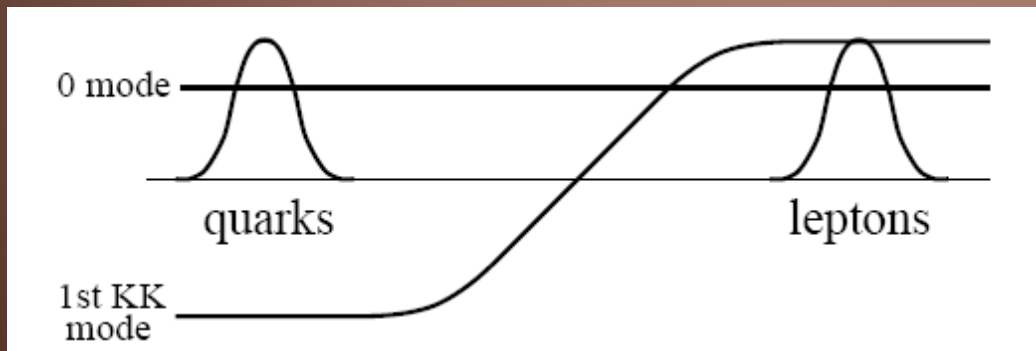
$$S = \int d^5x \bar{L}[i\partial_5 + \Phi(x_5)] L + \bar{E}^c[i\partial_5 + \Phi(x_5) - m]E^c + \kappa H L^T C_5 E^c$$



$$\propto e^{-\mu^2 r^2 / 2}$$

нулевая мода хиггса, распространяющаяся вдоль толстой браны (нелокализованная на расстоянии порядка толщины браны)

Взаимодействие с калибровочным сектором – зарядовая универсальность для нулевой моды GB и слабые нарушения на масштабе выше μ^2



когда открываются дополнительные измерения

ADD: flat large extra dimensions

N. Arkani-Hamed, S. Dimopoulos, G. Dvali '98

Multidimensional gravity action with multidimensional constant $G_{(D)}$

$$S = -\frac{1}{16\pi G_{(D)}} \int d^D X \sqrt{g^{(D)}} R^{(D)}$$

$$G_{(D)} = \frac{1}{M^{D-2}} \equiv \frac{1}{M^{d+2}}$$

effective



$$S_{eff} = -\frac{V_d}{16\pi G_{(D)}} \int d^4 X \sqrt{g^{(4)}} R^{(4)}$$

4D-action

$$G_{N(4)} = \frac{1}{M_{Pl}^2}$$

Planck mass becomes effective derived from the "true" multidimensional mass scale:

$$M_{Pl}^2 = V_{(d)} M^{d+2} \quad \text{where} \quad V_{(d)} \propto R^d \quad d = D-4$$

A size of extra dimensions depends on a number of ED and a multidimensional scale

$$R \sim M^{-1} \left(\frac{M_{Pl}}{M} \right)^{2/d} \sim 10^{32/d} \times 10^{-17} \text{ sm} \quad (\text{for } M \text{ about a few TeV})$$

$$G_{N(4)} = \frac{1}{V_{(d)}} G_{N(d+4)}$$

The hierarchy problem solution!

Зависимость масштаба от геометрии полного объема

N дополнительных измерений разного радиуса (простейший случай)

$$y_1, \dots, y_N \rightarrow R_1, \dots, R_N, \quad m_{\{n\}}^2 = \sum \frac{n_i^2}{R_i^2}$$

Объем фиксирован:

$$V_{(d)} \propto R^d$$



$$\propto \prod_i R^i$$
$$M_{Pl}^2 = V_{(d)} M^{d+2}$$

Можно подобрать такой (такие) R_i , что, допустим, для $d=3,4\dots$ один из радиусов окажется больше, чем для $d=2$



Возможность наблюдать отклонения в поведении гравитационного потенциала даже для большого числа d

Насколько большими могут быть дополнительные измерения?

4 dimensional M_{PL} related to the $(4+n)$ -dimensional M_D by

$$(M_{PL})^2 \sim R^n (M_D)^{2+n}$$

Setting $M_D = 1 \text{ TeV}$

- $n=1 \Rightarrow R = 10^{13} \text{ m}$

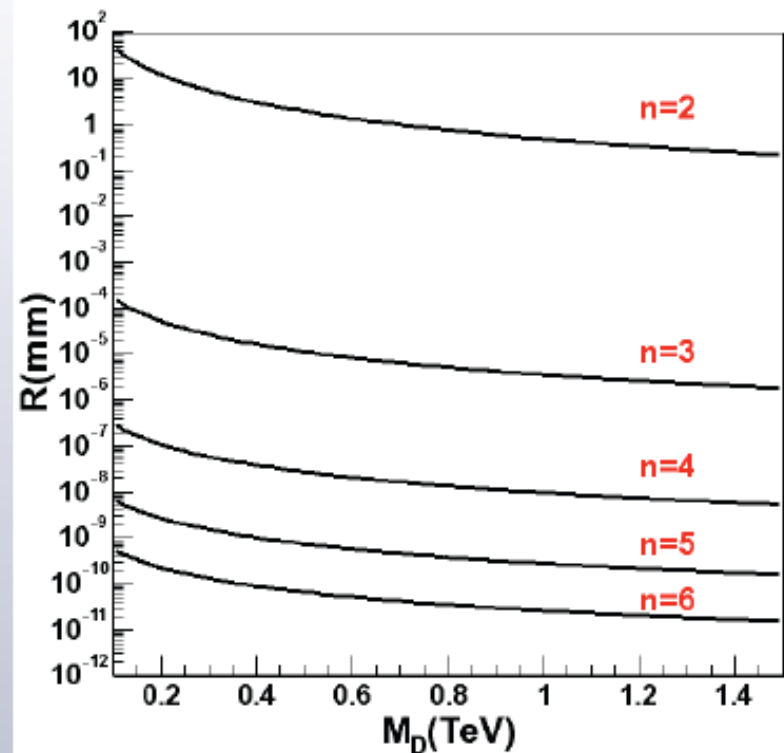
excluded by astro. data

- $n=2 \Rightarrow R \sim 400 \text{ } \mu\text{m}$

same order as direct probes of gravity

- $n=6 \Rightarrow R = 10^{-13} \text{ m}$

only testable at high energy colliders



$$R \sim M^{-1} \left(\frac{M_{Pl}}{M} \right)^{2/n} \sim 10^{32/n} \times 10^{-17} \text{ sm}$$

Множественное рождение легких КК-мод гравитона в ADD

$$G_{MN} = \eta_{MN} + \frac{2}{M^{1+d/2}} \epsilon_{MN}(x, y) \quad \epsilon_{MN}(x, y) = \sum_n h_{MN}^{(n)}(x) \frac{1}{\sqrt{V_d}} e^{-i n_m y^m / R}$$

Взаимодействие с 4D материей:

$$S_{\text{int}} = \int d^{4+d} x \sqrt{-G} \epsilon_{MN} \epsilon^{MN}(x, y) \Rightarrow \sum_n \int d^4 x \frac{1}{M_{Pl}} T^{\mu\nu} h_{\mu\nu}^{(n)}(x)$$

Любой процесс взаимодействия гравитона и 4D материи подавлен планковским масштабом (как и для обычной 4D гравитации)

НО

Надо учесть множественность рождающихся КК-мод (очень легких):

$$N(E) \rightarrow m_{\{n\}}^2 = \sum \frac{n_i^2}{R_i^2} \leq E$$

число точек с целыми значениями n_i
внутри $(d-1)$ -мерной сферы радиуса (RE)

$$N(E) = S_{d-1} \sum_{n=0}^{ER} n^{d-1} \approx S_{d-1} \int_0^{ER} n^{d-1} dn = \frac{2\pi^{d/2}}{\Gamma(d+1)} R^d E^d$$

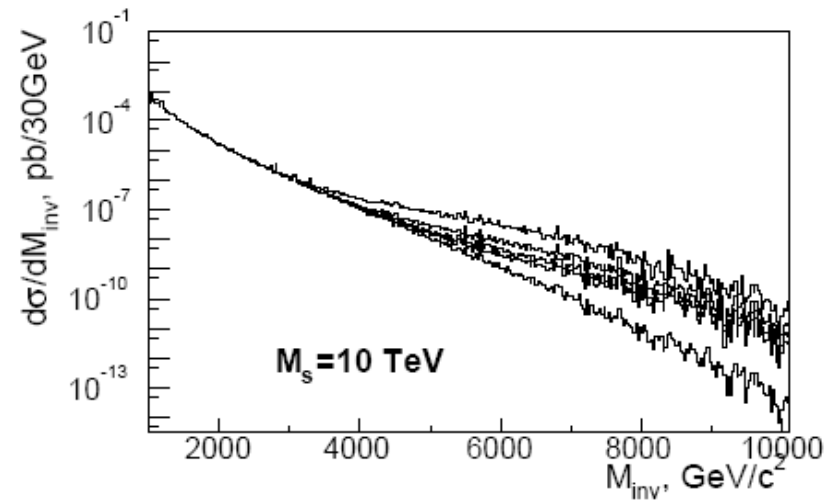
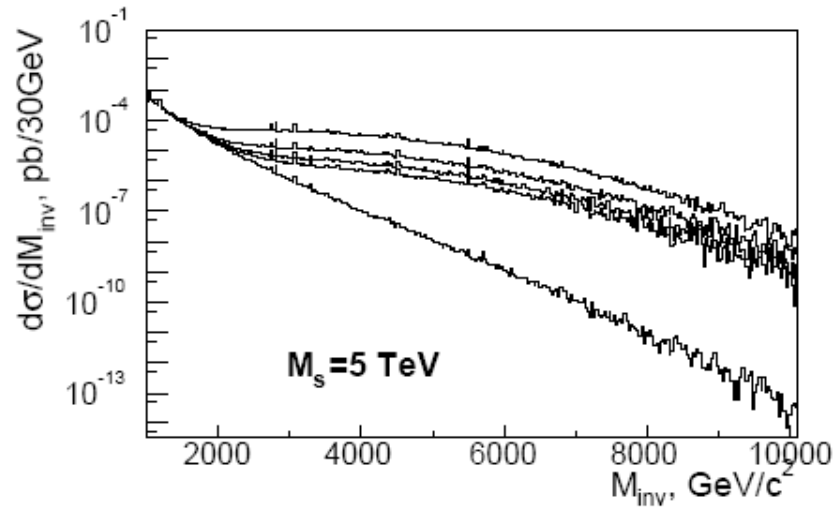
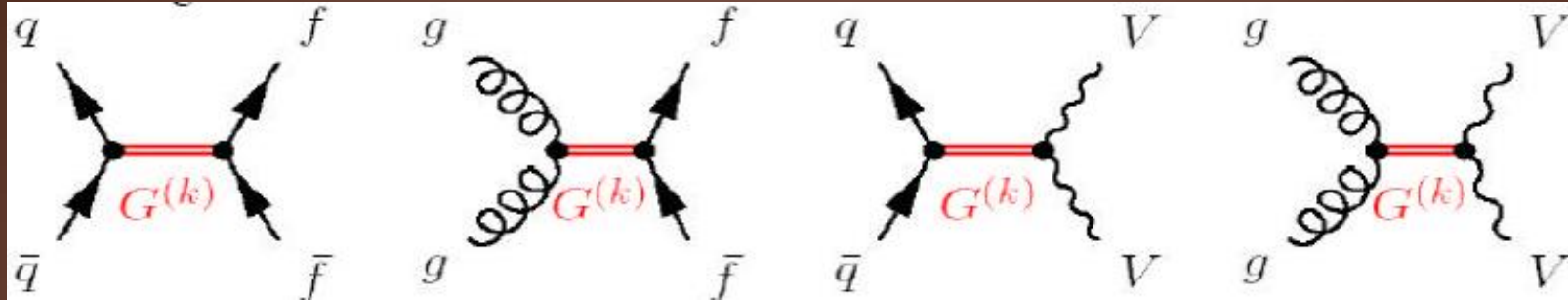
$$N(E) \propto \left(\frac{E}{M}\right)^d \times \frac{M_{Pl}^2}{M^2}, \quad \text{т.к.} \quad R^d = \frac{1}{M^d} \times \frac{M_{Pl}^2}{M^2}$$

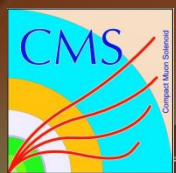
Процессы с обменами или рождением КК-мод гравитона наблюдаемы на эксперименте, из-за огромной множественности мод, участвующих в процессах !

ADD: virtual graviton exchange

K. Cheung and G. Landsberg, PRD62

T. Han, J.D. Lykken, R.-J. Zhang, PRD59

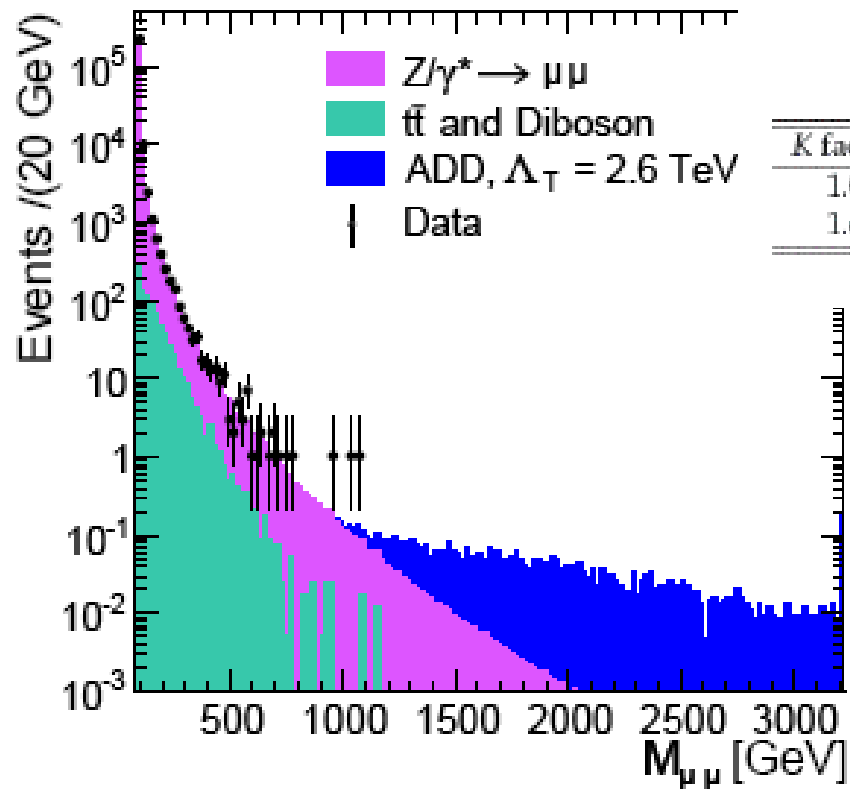




Exclusion Limits for ADD (virtual exc.)

CMS PAS EXO-11-039 *Dimuons*

CMS preliminary $\sqrt{s} = 7 \text{ TeV}, \int L dt = 1.18 \text{ fb}^{-1}$

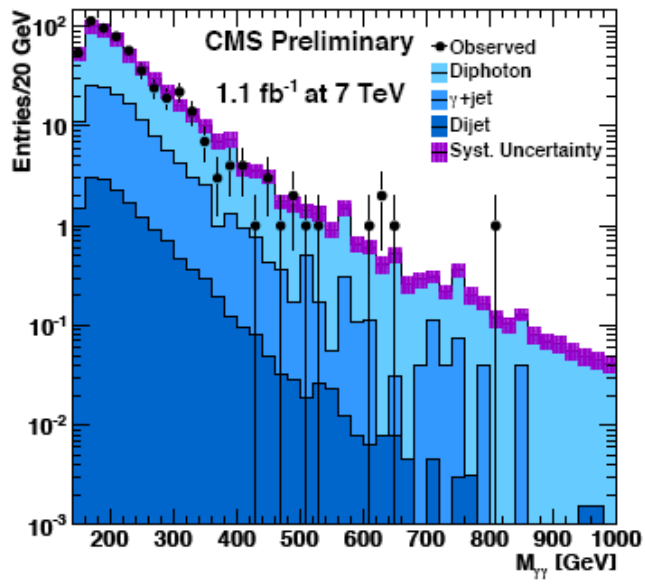


Diphotons CMS PAS EXO-11-038

Effective Planck scale (TeV) in ADD

K factor	$n_{ED} = 2$	$n_{ED} = 3$	$n_{ED} = 4$	$n_{ED} = 5$	$n_{ED} = 6$	$n_{ED} = 7$
1.0	3.2	3.4	2.8	2.6	2.4	2.2
1.6	3.5	3.7	3.1	2.8	2.6	2.4

n=2	n=3	n=4	n=5	n=6	n=7
2.6	3.1	2.6	2.3	2.1	2.0



Gravity in a bulk space with orbifold BCs: RS1

A 5D action is a subject for fine-tuning:

$$S_g = \frac{1}{16\pi G_{(5)}} \int d^4x dz \sqrt{g^{(5)}} R^{(5)} - \Lambda \int d^4x dz \sqrt{g^{(5)}} - \sigma \int d^4x \sqrt{g^{(4)}}$$

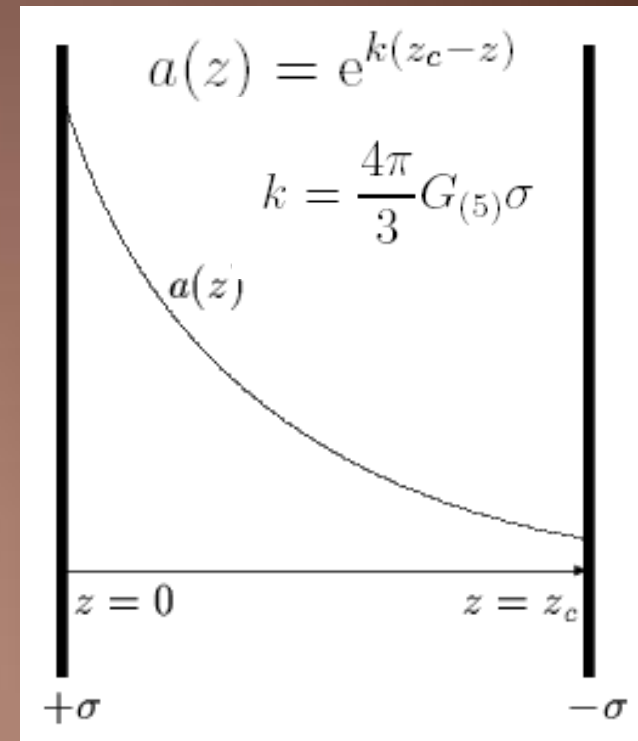
4D asymptotically flat metric $ds^2 = a^2(z) \eta_{\mu\nu} dx^\mu dx^\nu - dz^2$

can be obtained only putting

$$\Lambda = -\frac{4\pi}{3} G_{(5)} \sigma^2$$

The hierarchy is solved to be exponential!

$$G_{(4)} = G_{(5)} k \frac{1}{e^{2kz_c} - 1} \quad \Leftrightarrow \quad M_{Pl} \sim e^{kz} M_{EW}$$



Иерархия масштабов в модели со стянутыми ED

Введем хиггс в рассмотрение (строго на 4D):

$$S_{\text{Higgs}} = \int d^4x \sqrt{-g_{\text{ind}}} \{ g_{\text{ind}}^{\mu\nu} \partial_\mu H^\dagger \partial_\nu H - \lambda (|H|^2 - v_0^2)^2 \}$$

$$g_{\mu\nu}^{\text{ind}}(x) = G_{\mu\nu}(x, \phi = \pi) = e^{-2\kappa\pi R} g_{\mu\nu}^{(0)}(x)$$

только нулевая мода гравитона учитывается!



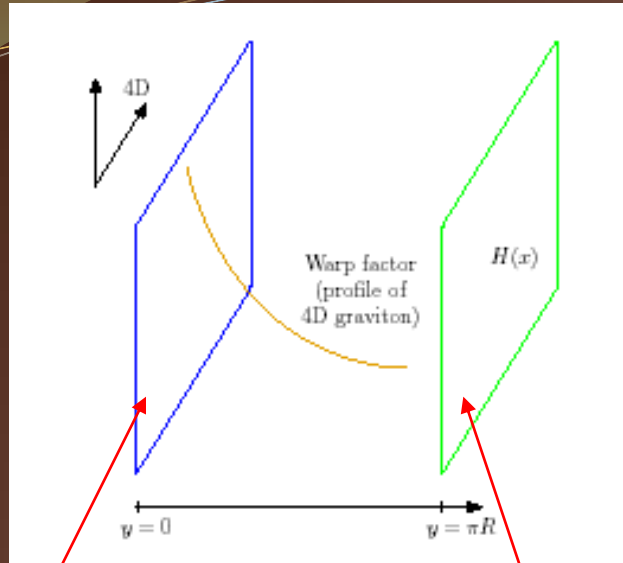
$$S_H = \int d^4x \sqrt{-g^{(0)}} \left\{ e^{-2\kappa\pi R} g_{(0)}^{\mu\nu} \partial_\mu H^\dagger \partial_\nu H - e^{-4\kappa\pi R} \lambda (|H|^2 - v_0^2)^2 \right\}$$

Переопределим поле: $e^{-2\kappa R} H \rightarrow H$

$$S_H = \int d^4x \sqrt{-g^{(0)}} \left\{ g_{(0)}^{\mu\nu} \partial_\mu H^\dagger \partial_\nu H - \lambda \left(|H|^2 - \underbrace{e^{-2\kappa\pi R} v_0^2}_{v^2} \right)^2 \right\}$$

$$v = e^{-2\kappa R} v_0$$

Решение проблемы иерархий
за счет стягивающего фактора !



планковская
брана

ТэВ-ная
брана

Настройка 5D и 4D константы:

$$16\pi G_N^{4D\text{ eff}} = \frac{2\kappa G_N^{5D}}{1 - e^{-2\pi\kappa R}}$$

Хорошо определенный предел при разворачивании дополнительного измерения :

$$M_{4Pl}^2 = \frac{M_5^3}{2\kappa} (1 - e^{-2\pi\kappa R}) \xrightarrow{R \rightarrow \infty} \frac{M_5^3}{2\kappa}$$



Нулевая мода локализована в окрестностях браны $\phi = 0$

(планковская брана)

Оценки в неперенормируемой теории с параметром: $\frac{E^3}{M_5^3} \ll 1$

$$\frac{\Lambda^{3/5}}{M_5^3} \approx \frac{(M_5^3 \kappa^2)^{3/5}}{M_5^3} \ll 1 \Leftrightarrow \frac{\kappa}{M_5} \ll 1$$

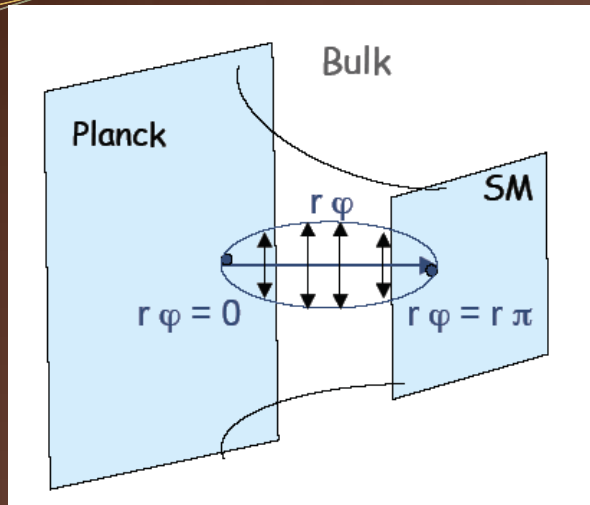
$$\kappa \leq M_5 \leq M_{4Pl} \approx 10^{18} \text{ GeV}$$

все параметры модели - **одного порядка !**
в отличие от ситуации ADD

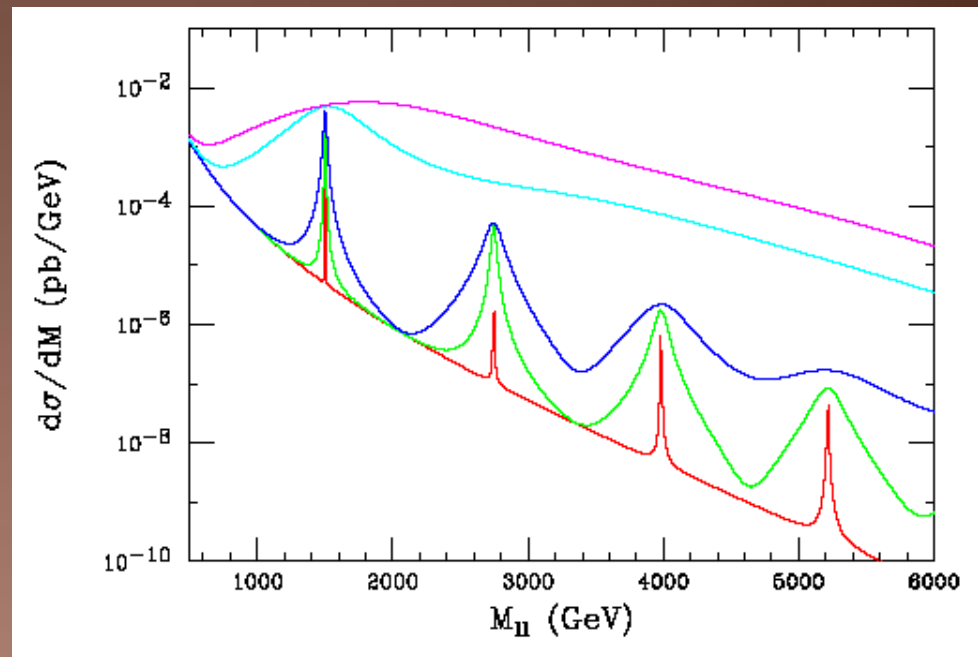
RS1 Model

L. Randall, R. Sundrum (RS scenario),
PRL83 3370 (1999)

H. Davoudiasl, J.L. Hewett, and T.G. Rizzo, hep-ph/0006041



*5D curve space with
 AdS_5 metric*



$q\bar{q}, gg \rightarrow G_{KK} \rightarrow e^+e^-, \mu^+\mu^-, \gamma\gamma, jet + jet$

Model Parameters:

Curvature: k ($\sim M$)

Compactification radius: r

Coupling constant: $c = k/M_1$

Gravity scale : $\Lambda_\pi = M_1 e^{-kr\pi}$

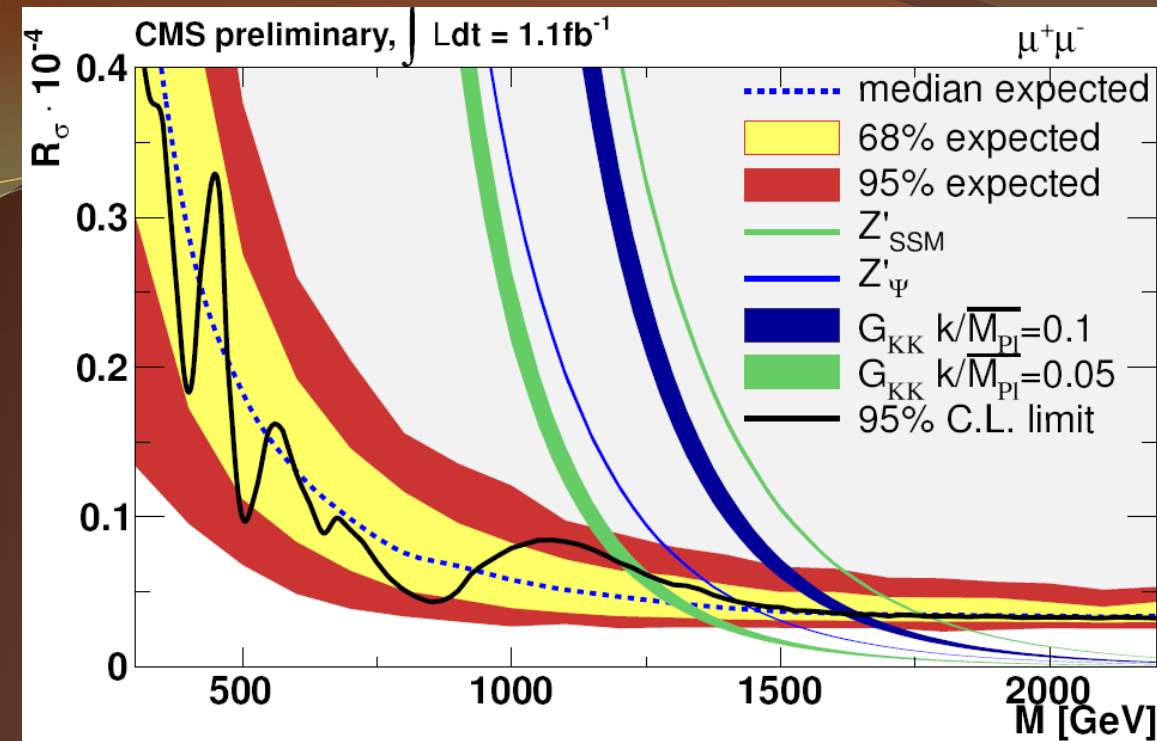
Signals:

Narrow, high-mass resonances
states in di-leptons, di-jets, di-
photons events:

The CMS analysis 2011

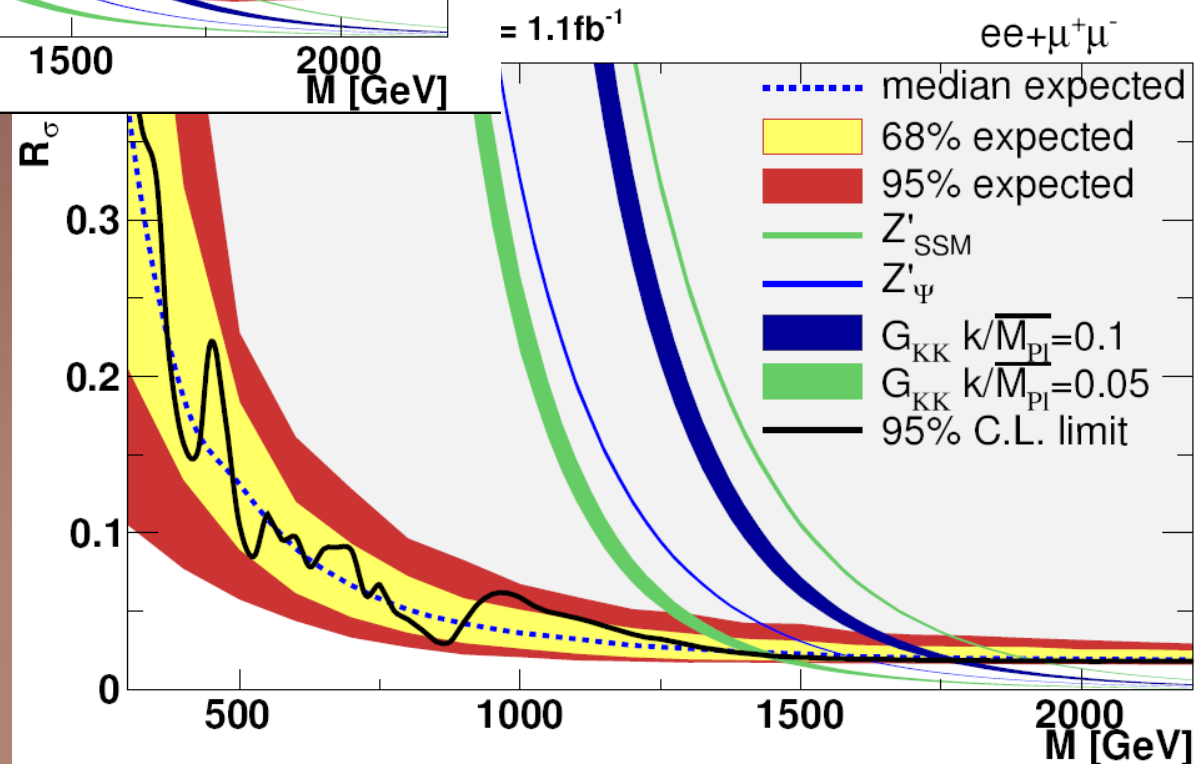
Dilepton resonances,
combined ee/ $\mu\mu$,
1.09 fb⁻¹:

CMS EXO-11-019



G_{KK} in RS1-type models is
excluded up to 1.78 TeV
for $c=0.1$

and up to 1.45 TeV
for $c=0.05$
at 95 % C.L.



BH production and decay: semiclassical approach and beyond

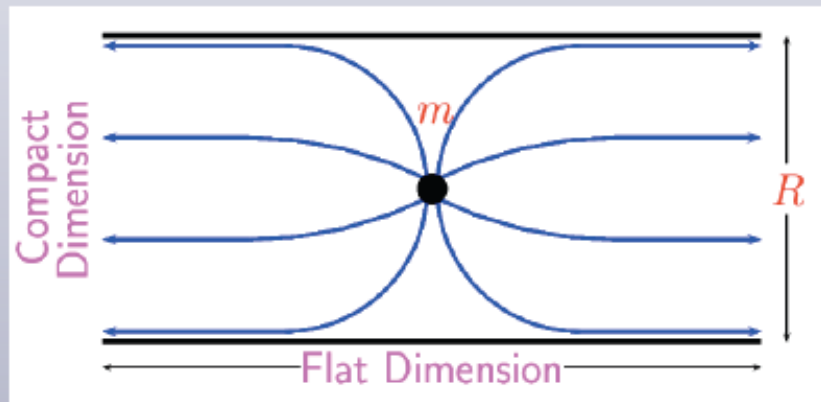
Modification of gravity potential by KK modes in ADD

Gravitational Potential in 4 Dimensions (Newton)

$$V(r) = G_N \frac{m_1 m_2}{r} = \frac{1}{(M_{Pl})^2} \frac{m_1 m_2}{r}$$

n extra dimensions, compactified at radius R

$$r \ll R \quad V(r) \sim \frac{1}{(M_D)^{n+2}} \frac{m_1 m_2}{r^{n+1}} \quad \rightarrow \quad V(r) \sim \frac{1}{(M_D)^{n+2}} \frac{m_1 m_2}{R^n} \frac{1}{r} \quad r \gg R$$



At large distances, must return to original potential

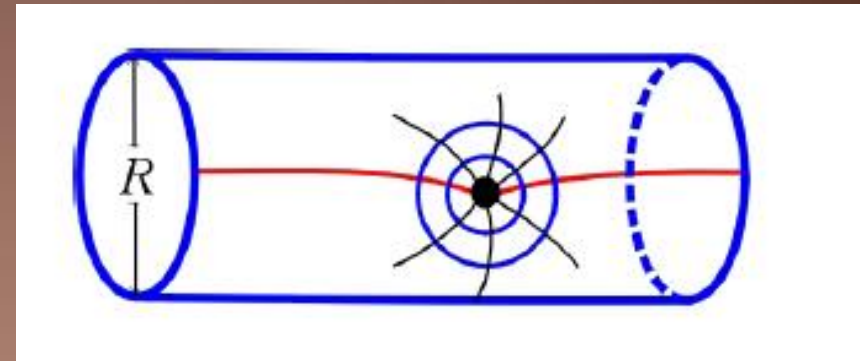
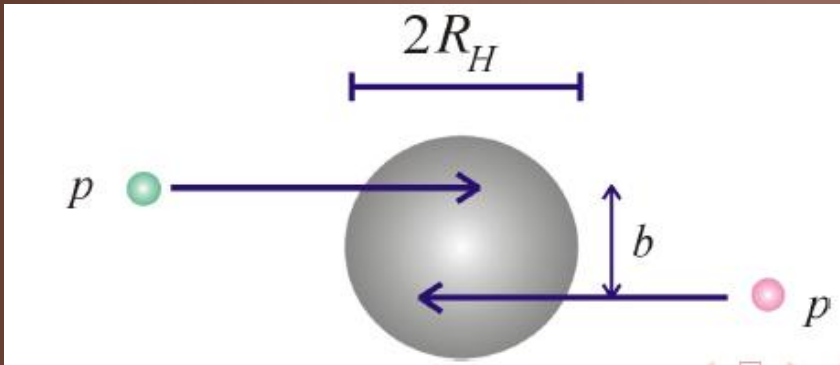
$$(M_{Pl})^2 \sim R^n (M_D)^{2+n}$$

BH formation in TeV-scale gravity

In large extra dimension models

- Gravity stronger at small distances
- Horizon radius larger
- For $M \sim \text{TeV}$ it increases from 10^{-38} fm to 10^{-4} fm

For these BH $R_h \ll R$ and they have approximately higher dimensional spherical symmetry



Pictures by Sabine Hossenfelder

At the LHC partons can come closer than their Schwarzschild horizon



black hole production

Разные возможности (физические сценарии) для описания ЧД и альтернативных объектов, существенно меняющие трактовку экспериментальных данных

- «Нормальная» квазиклассическая ЧД, энергии хватает для соблюдения условия отхода достаточно далеко от фундаментального масштаба («хороший транспланковский режим»), ЧД с большой энтропией, термальный спектр

- Квантовая ЧД, рождение вблизи порога, малая энергия и энтропия, истинно квазиклассическое описание неприменимо, усиление рождения двух- и трехструйных конфигураций с большими p_T

- Струнный шар (промежуточное состояние между чисто квантовыми наинизшими по энергии состояниями и КЧД), фиксированная температура во время эволюции, иная форма спектров финальных частиц

- Обобщенные правила квантования и дискретный спектр наинизших состояний ЧД (2011)

- Что-то еще? Мысль не останавливается на месте...

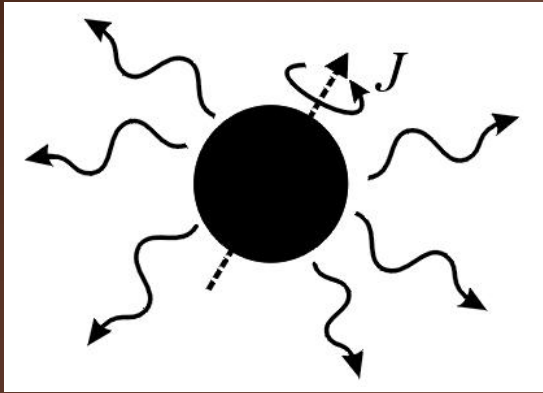
Evolution Stages for BH

I. Balding phase

Asymmetric production, but “No hair” theorem: BH sheds its high multipole moments for fields (**graviton and GB emitting classically**), as electric charge and color.

Characteristic time is about $t \sim R_s$

Result: BH are classically stable objects

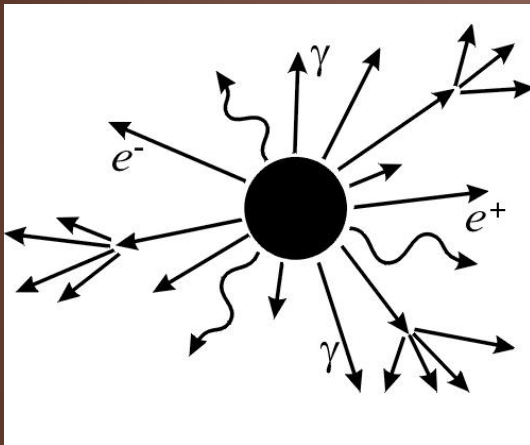


II-III. Hawking radiation phases (short spin down + more longer Schwarzschild)

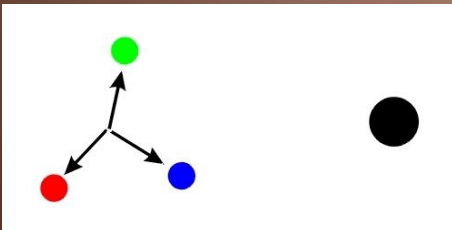
Quantum-mechanical **decay through tunneling**, transition from Kerr spinning BH to stationary Schwarzschild one. angular momentum shedding.

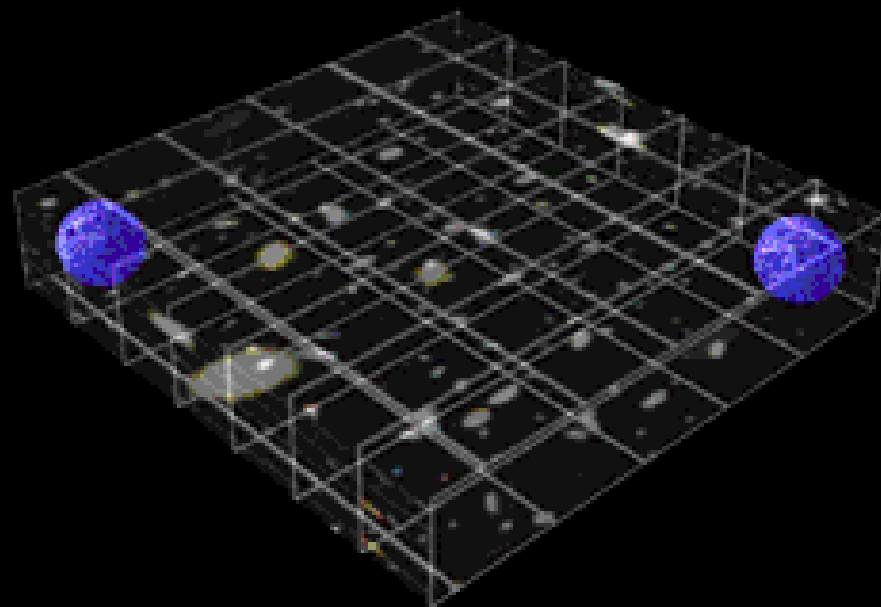
After this – **thermal decay** to all SM particles with black body energy spectra. **Accelerating decay with a varying growing temperature**. No flavor dependence, only number of D.o.f.– “democratic” decay

Correction with **Gray Body Factors**



IV. Planck phase: final explosion (subj for QGr)
BH remnant (non-detectable energy losses), **N-body** decay, Q, B, color are conserved or not conserved






BH Production in pp collisions: well-known formulas

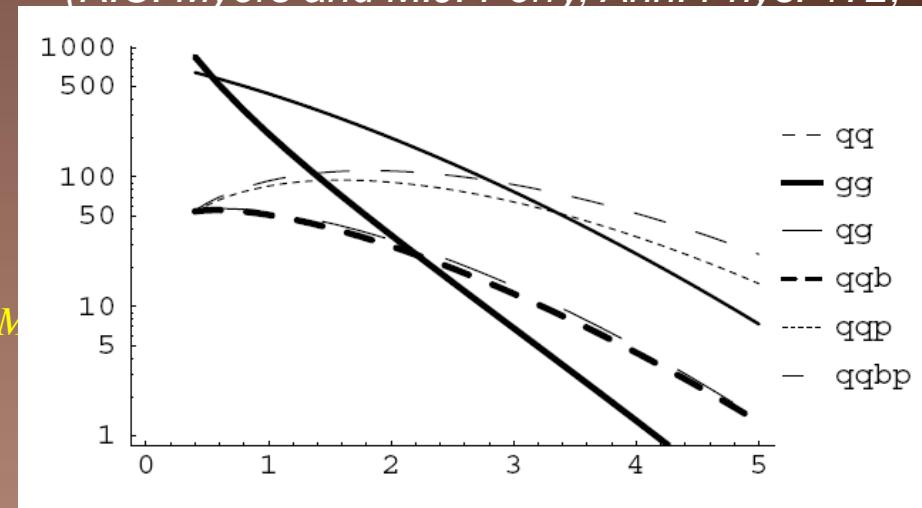
$$R_s = \frac{1}{\sqrt{\pi} M} \left[\frac{M_{\text{BH}}}{M} \left(\frac{8\Gamma(\frac{n+3}{2})}{n+2} \right) \right]^{\frac{1}{n+1}}$$

Schwarzschild radius of a multidimensional BH

(R.C. Myers and M.J. Perry, *Ann. Phys.* 172,

$$\frac{d\sigma_{\text{BH}}}{dM_{\text{BH}}} = \frac{dL}{dM_{\text{BH}}} \mathcal{E}(ab \rightarrow \text{BH}) \Big|_{\mathcal{E}=M}$$

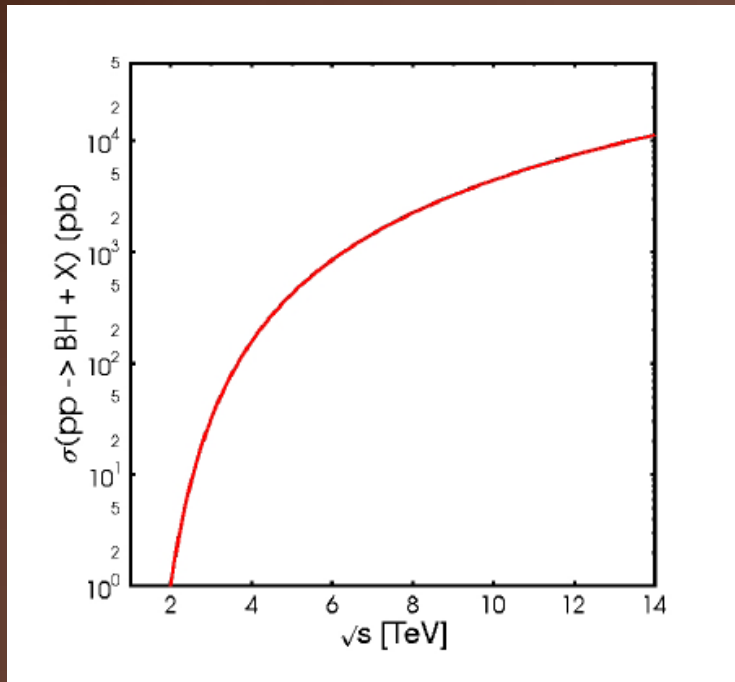

 πR_s^2



$$\frac{dL}{dM_{\text{BH}}} = \frac{2M_{\text{BH}}}{s} \sum_{a,b} \int_{M_{\text{BH}}^2/s}^1 \frac{dx_a}{x_a} f_a(x_a) f_b \left(\frac{M_{\text{BH}}^2}{sx_a} \right)$$

PDF's

BH Production in pp collisions at the LHC

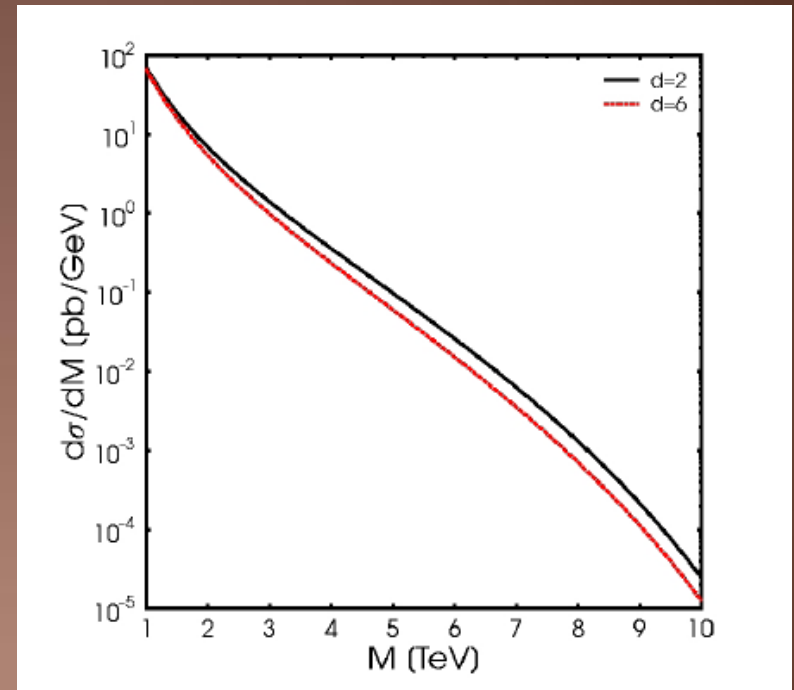


Increasing cross section, **no suppression** from small couplings

Production of KK modes in TeV scale gravity:

ADD, $M_d=3$ TeV, $\frac{d\sigma}{dM} \propto 10^{-5} - 10^{-3} \frac{\text{pb}}{\text{GeV}}$

RS, $c = k/M_{Pl} = 0.01-0.1$
 $M_d=1.5$ TeV, $\frac{d\sigma}{dM} \propto 10^{-4} - 10^{-2} \frac{\text{pb}}{\text{GeV}}$



Hawking Evaporation of BH

$$T_H = M \left(\frac{M}{M_{BH}} \frac{n+2}{8\Gamma\left(\frac{n+3}{2}\right)} \right)^{\frac{1}{n+1}} \times \frac{n+1}{4\sqrt{\pi}} = \frac{n+1}{4\pi R_s}$$

Hawking temperature

(R.C. Myers and M.J. Perry,
Ann. Phys. 172, 304, 1986)

Multiplicity of produced particles in BH decay

$$\langle N \rangle = \langle M_{BH} / E \rangle$$

$$r_{S(h)} < R_c$$

$$\left\langle \frac{1}{E} \right\rangle = \frac{1}{T_H} \frac{\int_0^\infty dx \frac{1}{x} \frac{x^2}{e^x \pm c}}{\int_0^\infty dx \frac{x^2}{e^x \pm c}} = \frac{a}{T_H}$$

Planckian spectrum (black body)

where $x = E/T_H$

$$\langle N \rangle = \frac{2\sqrt{\pi}}{n+1} \left(\frac{M_{BH}}{M} \right)^{\frac{n+2}{n+1}} \left(\frac{8\Gamma\left(\frac{n+3}{2}\right)}{n+2} \right)^{\frac{1}{n+1}}$$

Gray Body Factors for BH Decay

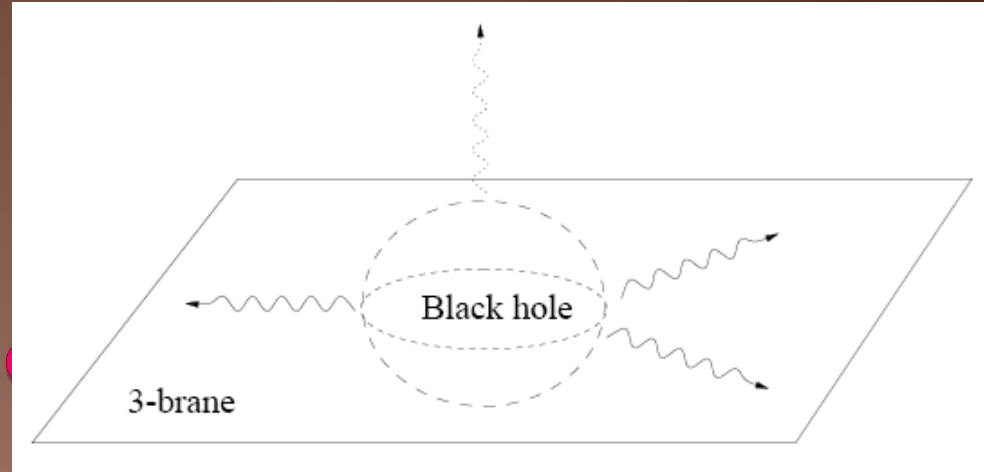
$$\frac{dN_{s,l,m}}{d\omega dt} = \frac{1}{2} \frac{\Gamma_{s,l,m}}{\exp[\omega/T_H] \mp 1}$$

$$T_H = \frac{n+1}{4\pi r_h}$$

Grey body factors

$$r_h \omega \ll 1 \quad \Gamma \propto \omega^{2l+1}$$

$$r_h \omega \gg 1 \quad \Gamma \approx \theta(Kr_h \omega - l)$$



Papers on GBF:

P. Kanti, J. March-Russell, I. Olasagasti K. Tamvakis, 2002;

G. Duffy, C. Harris, P. Kanti and E. Winstanley, 2005;

M. Casals, P. Kanti and E. Winstanley, S. R. Dolan, 2006-2007

D. Ida, K.-y. Oda and S. C. Park, 2003-2006

$$\frac{dN_{e^-}}{d\omega dt} = 2 \sum_{l,m} \frac{dN_{1/2,l,m}}{d\omega dt}$$

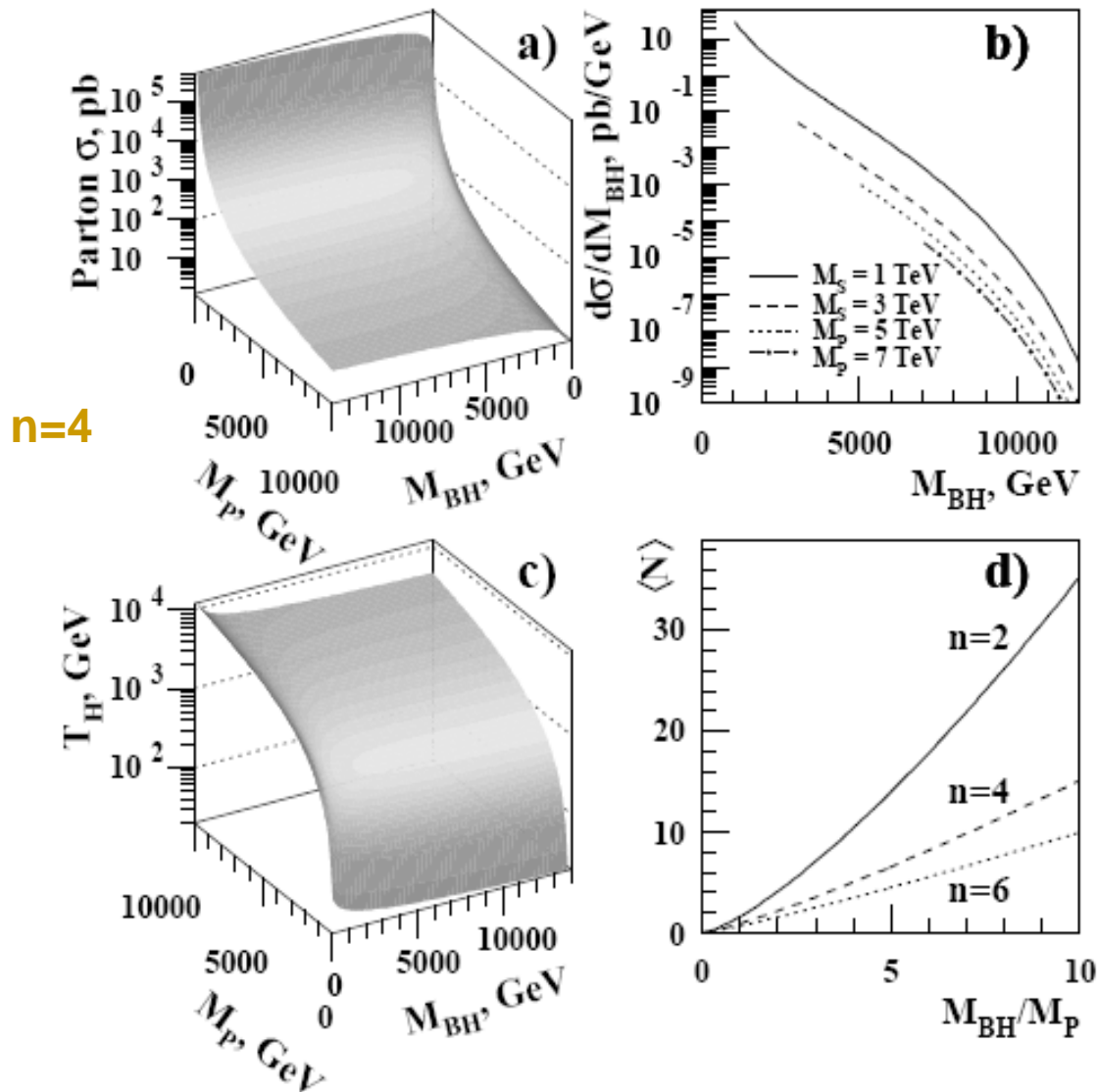
D.o.F. for e-

$$\frac{dN_{W^-}}{d\omega dt} = 2 \sum_{l,m} \frac{dN_{1,l,m}}{d\omega dt} + \sum_{l,m} \frac{dN_{0,l,m}}{d\omega dt}$$

D.o.F. for GB

BH Production in pp collisions at the LHC

DL '01



For the LHC energies:

a) Parton-level production cross section

b) Differential cross section

c) Hawking temperature

d) Average decay multiplicity for Schwarzschild BH

BH Entropy

$$S_{\text{BH}} = \frac{4\pi}{n+2} \left(\frac{M_{\text{BH}}}{M} \right)^{\frac{n+2}{n+1}} \left(\frac{2^n \pi^{\frac{n-3}{2}} \Gamma\left(\frac{n+3}{2}\right)}{n+2} \right)^{\frac{1}{n+1}}$$

(R.C. Myers and M.J. Perry,
Ann. Phys. 172, 304, 1986)

S_{BH} must be large enough to
reproduce thermal BH decay

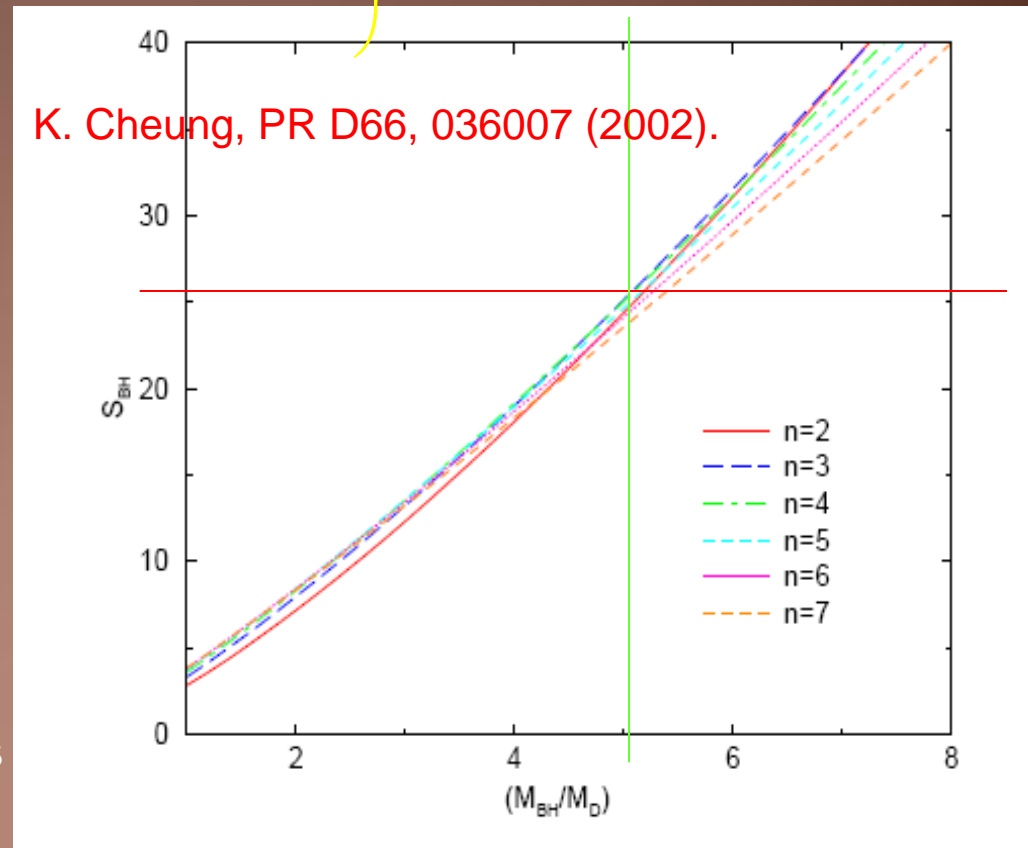
$$1 \ll \frac{1}{\sqrt{S_{\text{BH}}}} \Rightarrow S_{\text{BH}} > 25$$

(S.B. Giddings, hep-ph/0110127v3,
K. Cheung, Phys. Rev. Lett. 88, 221602,
2002)

$$M_{\text{BH}}^{\text{min}} \geq 5M$$

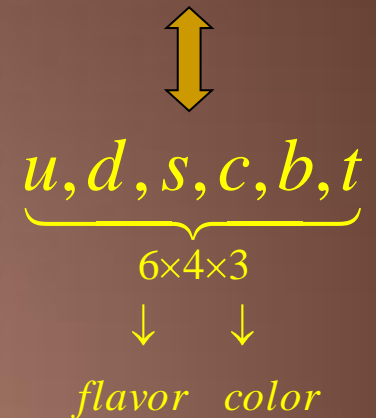
Democratic decay blinded to flavor:
probabilities are the same for all species
(violation of some conservation laws)

K. Cheung, PR D66, 036007 (2002).



D.o.f. # counting and “democracy” of BH decay

$Z, W^\pm, \gamma, g, H;$	$e^\pm, \mu^\pm, \tau^\pm, \nu_e, \nu_\mu, \nu_\tau;$	u, d, s, c, b, t
↓ ↓ ↓ ↓ ↓	↓ ↓ ↓ ↓ ↓ ↓	↓ ↓ ↓ ↓ ↓ ↓
3 6 2 16 1	4 4 4 2 2 2	12 12 12 12 12 12



(Gauge+Higgs) : (Leptons) : (Quarks) = 28 : 18 : 72



The ratio of hadronic/leptonic is 5 : 1

TSM and an inelasticity in BH production

$$\sigma^{pp}(\sqrt{s}, x_{\min}, d, M) = \int_0^1 2z dz \int_{\frac{(x_{\min} M)^2}{y^2 s}}^1 \frac{du}{u} \int_u^1 \frac{dv}{v} F(n) \pi r_s^2(us, n, M) \times$$

$$\sum_{i,j} f_i(v, Q) f_j(u/v, Q)$$

$$x_{\min} = M_{BH}^{\min} / M \quad ; \quad y \equiv M_{BH} / \sqrt{s} \quad ; \quad z = b / b_{\max}$$

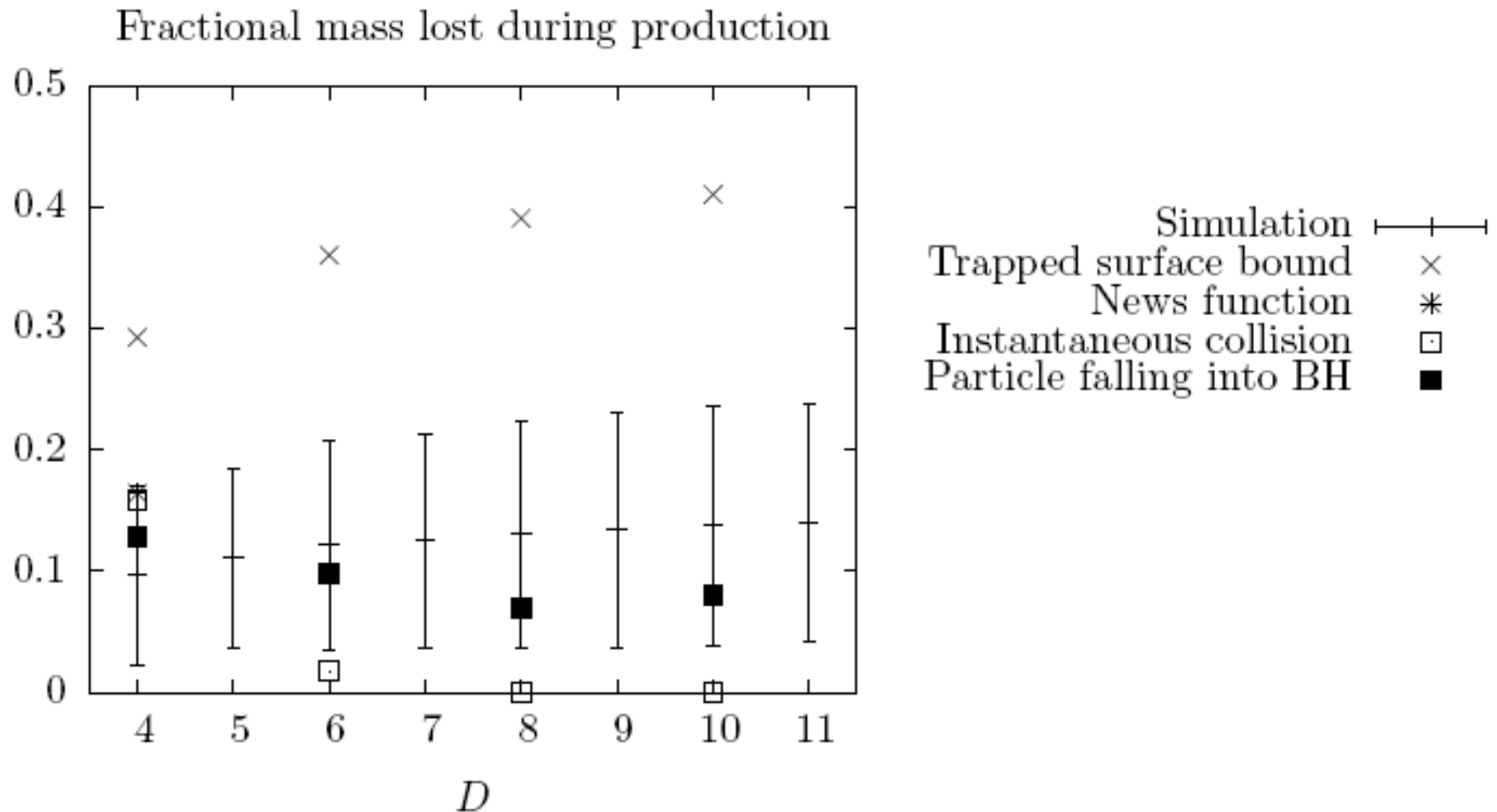
What part of initial collision energy actually was trapped in BH formation process?



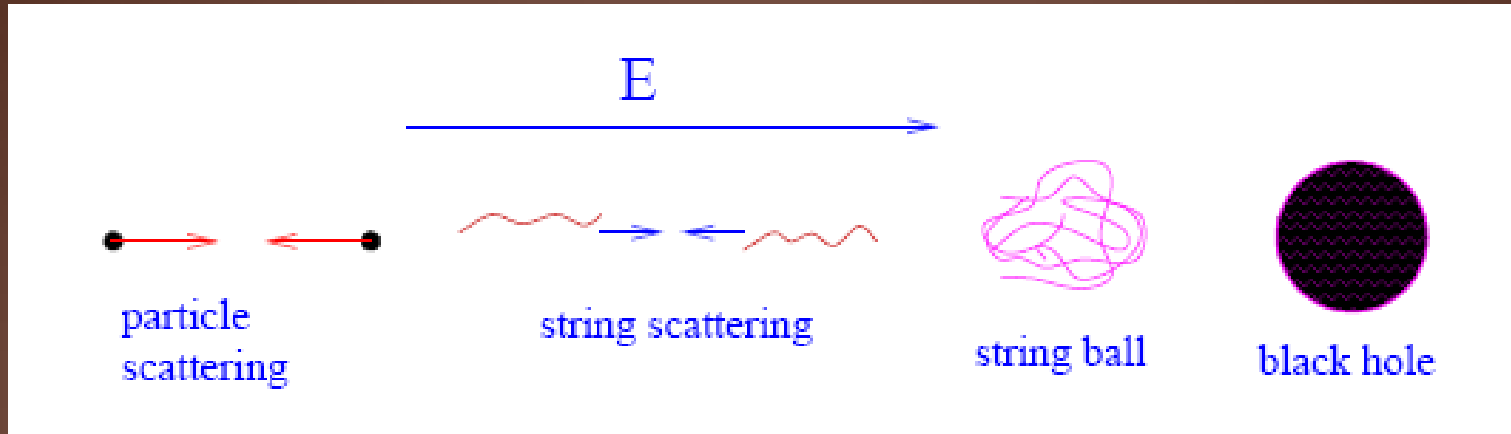
inelasticity (pp → BH + X) – function of n, b

H. Yoshino and Y. Nambu, Phys. Rev. D 67, 024009(2003), gr-qc/0209003;
L. A. Anchordoqui, J.L. Feng, H. Goldberg, and A.D. Shapere, hep-ph/0311365

Mass loss during BH formation in different models



Black Hole or String Ball?



Picture by Kingman Cheung

$M_{\text{BH}} \gg M_D$: semiclassical well-known description for BH's.

What happens when M_{BH} approach M_D ?

BH becomes “stringy”, their properties become complex.

$$M_D^{n+2} = \frac{M_s^{n+2}}{g_s^2}$$

$$g_s = 0,4$$

$$M_s = 1300 \text{ GeV}$$

$$M_D = 1600 \text{ GeV}$$

Matching:

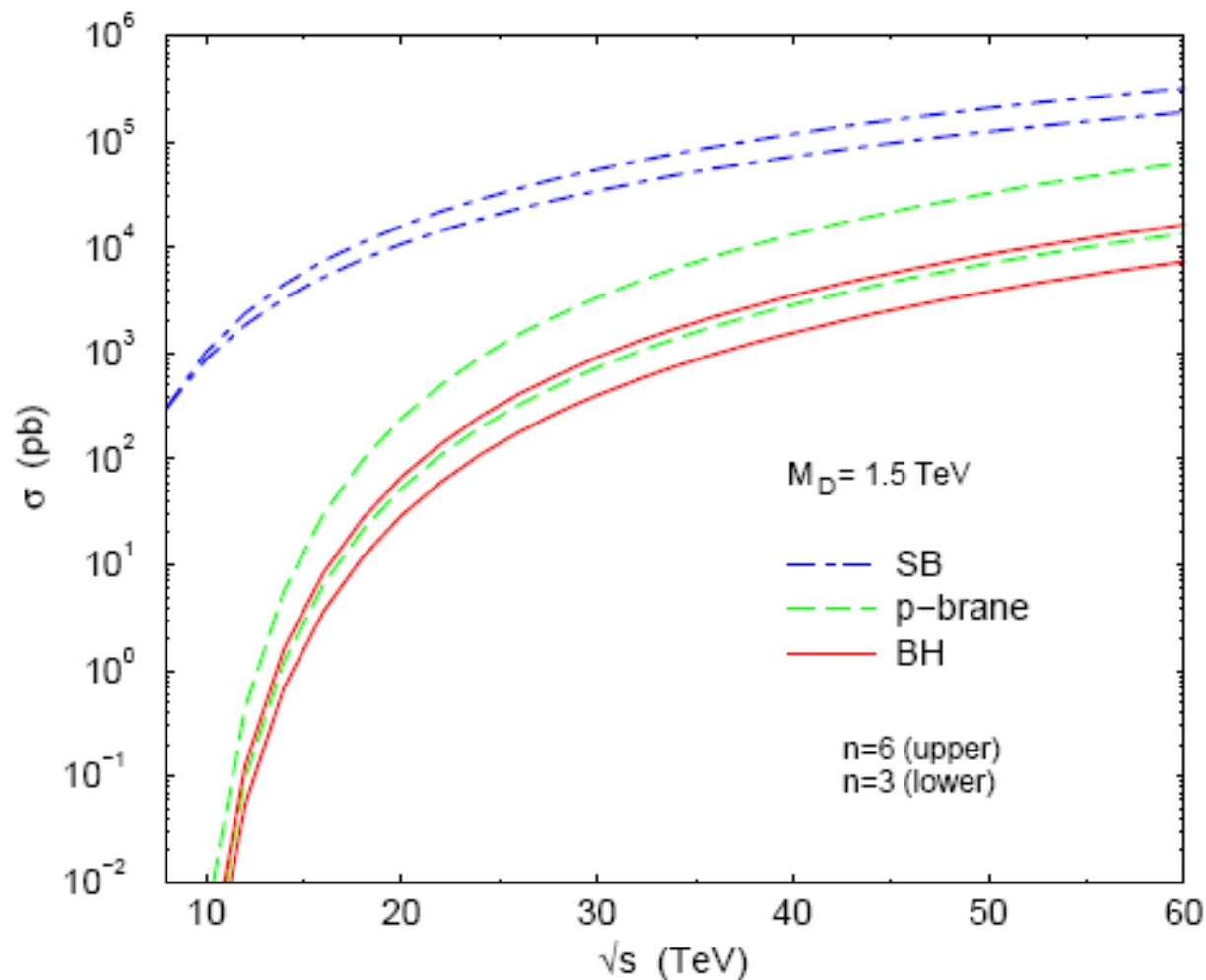
$$M_{BH}^{\min} = M_s / g_s^2 \quad \sigma(SB) \Big|_{M_{SB}=M_s/g_s^2} = \sigma(BH) \Big|_{M_{BH}=M_s/g_s^2}$$

$$\sigma(B/BH) = \begin{cases} \frac{\pi}{M^2} \left(\frac{M_{BH}}{M} \right)^{\frac{2}{d+1}} \mathbf{f}(d); & \frac{M_s}{g_s^2} \leq M_{BH} \\ \frac{\pi}{M^2} \left(\frac{M_s/g_s^2}{M} \right)^{\frac{2}{d+1}} \mathbf{f}(d) = \frac{\pi}{M_s^2} \mathbf{f}(d); & \frac{M_s}{g_s} \leq M_{SB} \leq \frac{M_s}{g_s^2} \\ \frac{\pi g_s^2 M_{SB}^2}{M_s^4} \mathbf{f}(d); & M_s \ll M_{SB} \leq \frac{M_s}{g_s} \end{cases}$$

S. Dimopoulos and R. Emparan,
Phys. Lett. B526, 393 (2002), hep-ph/0108060

$$f(n) = \left(\frac{2^d \pi^{\frac{d-3}{2}} \Gamma\left(\frac{d+3}{2}\right)}{d+2} \right)^{\frac{1}{d+1}}$$

Production cross sections for BH, SB and p-brane





Final Episode

**Bad news about BH
and**

new hopes:

**more careful semiclassical
analysis and directions
beyond**

BH not as spectacular as advertized!!

- BH Production near the threshold and careful counting
- Conventions on a fundamental mass
- Inelasticity for BH formation at the LHC and in the UHECR
- Minimal M for a sensible definition of a BH
- LHC unlikely to make classical BH with thermal decay spectra.
So, what can we see, then?
- Two-body final states and QG

Conventions on a fundamental mass

$$S = \frac{1}{8\pi G_D} \int d^D x \sqrt{-g} \frac{1}{2} \mathfrak{R} + \int d^D x \sqrt{-g} L$$

Just numerical coefficients

$$G_N = \frac{G_D}{V_{D-4}}$$

But: there is **essential difference** between M about 1 TeV and 2 TeV for the LHC!

At least three definitions:

$$M_P^{D-2} = \frac{(2\pi)^{D-4}}{4\pi G_D} \longrightarrow M_P = 2^{\frac{1}{D-2}} M_D$$

(Giddings, Thomas, 01)

$$M_D^{D-2} = \frac{(2\pi)^{D-4}}{8\pi G_D} \quad (\text{GRW, 98})$$

$$M_{\text{DL}}^{D-2} = \frac{1}{G_D} \longrightarrow M_P^{D-2} = 2^{D-6} \pi^{D-5} M_{\text{DL}}^{D-2}$$

(Dimopoulos, Landsberg, 01)

$$D=6 \quad M_p = 1.3 M_{\text{DL}}$$

$$D=10 \quad M_p = 2.9 M_{\text{DL}}$$

What energy allows to speak about “true” BH ?

Clearly $E > M_D$. But how much large?

Criteria for a Black Hole?

Patrick Meade and Lisa Randall, ArXiv:0708.3017

- $M_{BH} > M$
 - As advertised, not even convention independent
- $2\pi/(M/2) < R_S$
 - More stringent version of above
 - ADD ($n=6$) $M_{BH} > 4M$ —almost at experimental limit
 - RS $M_{BH} > 16M$ —if taken seriously, bhs already out of reach

Quantum Black Holes

Production near the threshold, small entropy, $M_{\min} \sim M_D$

Patrick Meade and Lisa Randall, arXiv:0708.3017

Douglas M. Gingrich, arXiv:0912.0826

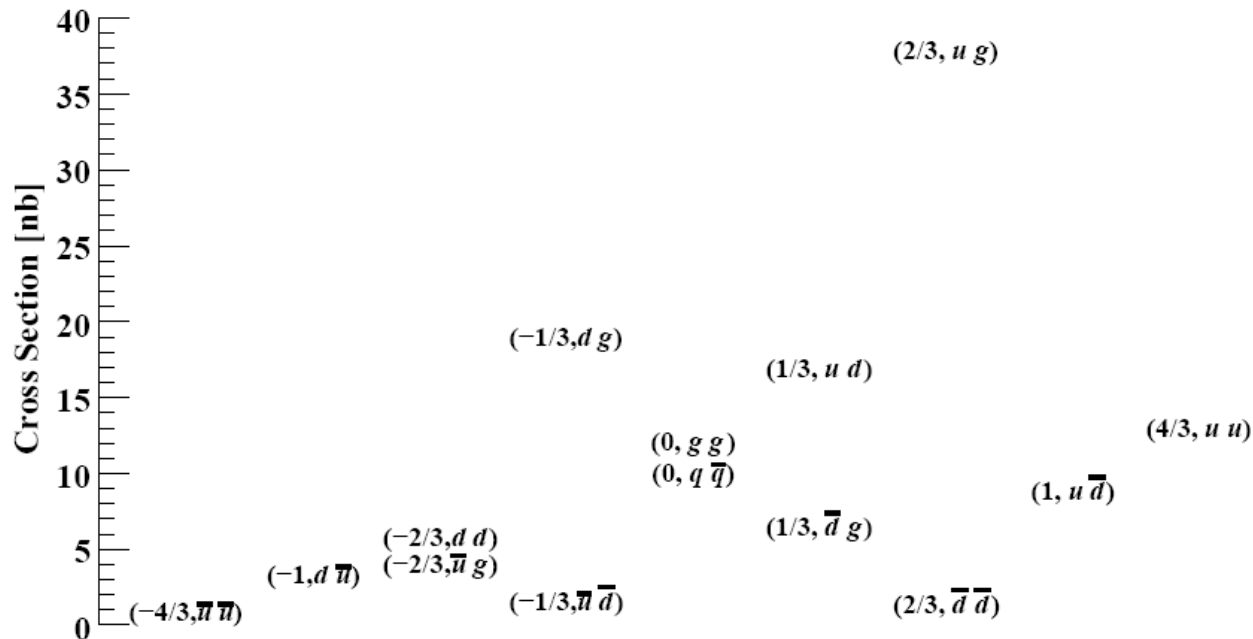
$$\lambda_c \geq R_S$$



significant back-reaction,
strongly coupled resonances or gravity bound state

Quantum black holes with charge, colour, and spin at the LHC

7

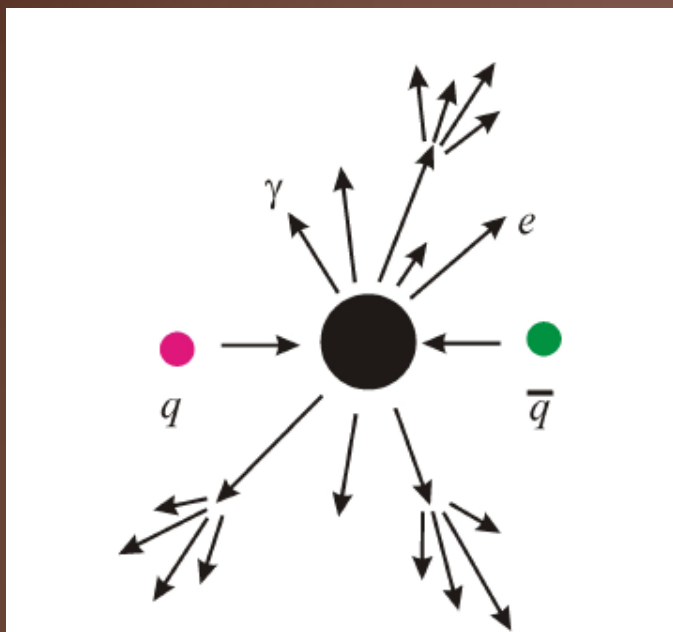


Search for BH at the LHC

- Potentially large cross sections (can be really suppressed by factors coming from production process details)
- Increasing cross sections with an energy, according to an absence of small gauge couplings
- High multiplicity of produced particles as proportional to a BH entropy
- Hard leptons and jets (high transverse momenta), in significant numbers
- Approximately thermally determined ratios of species (democratic decay)
- Relatively high sphericity for final states

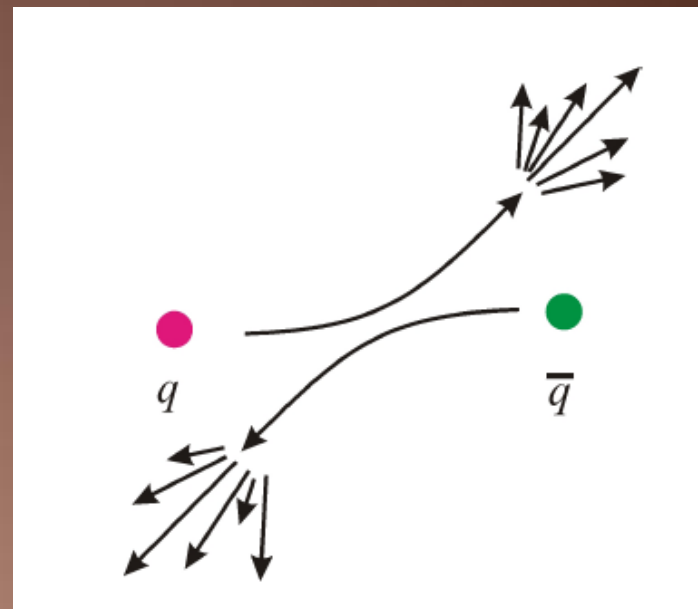
Final state of the SM process vs typical BH decay spectra

BH decay



- ❖ Multi-jet and hard leptons events
- ❖ High spherical
- ❖ High energy and p_T

SM Process



Pictures by Sabine Hossenfelder



Experimental observables which are sensitive to these features

Black Hole Event Generators

CHARYBDIS 1.003 (August 2006)

C.M. Harris, P. Richardson and B.R. Webber

“CHARYBDIS: A Black Hole Event Generator”, *JHEP* 0308:033, [hep-ph/0307305](#), 2003

<http://www.ippp.dur.ac.uk/montecarlo/leshouches/generators/charybdis/>

CHARYBDIS2 (April 2009)

J. A. Frost, J. R. Gaunt, M. O.P. Sampaio, M. Casals, S. R. Dolan, M. A. Parker, and B. R. Webber, [arXiv:0904.0979](#)

<http://projects.hepforge.org/charybdis2/>

CATFISH 1.1 (October 2006),

M. Cavaglia, R. Godang, L. Cremaldi and D. Summers, “CATFISH:

A Monte Carlo simulator for black holes at the LHC”, [arXiv: hep-ph/0609001](#)

<http://www.phy.olemiss.edu/GR/catfish/catfish-v1.01.docu.pdf>

BlackMax (April 2008, the latest version – March 2010)

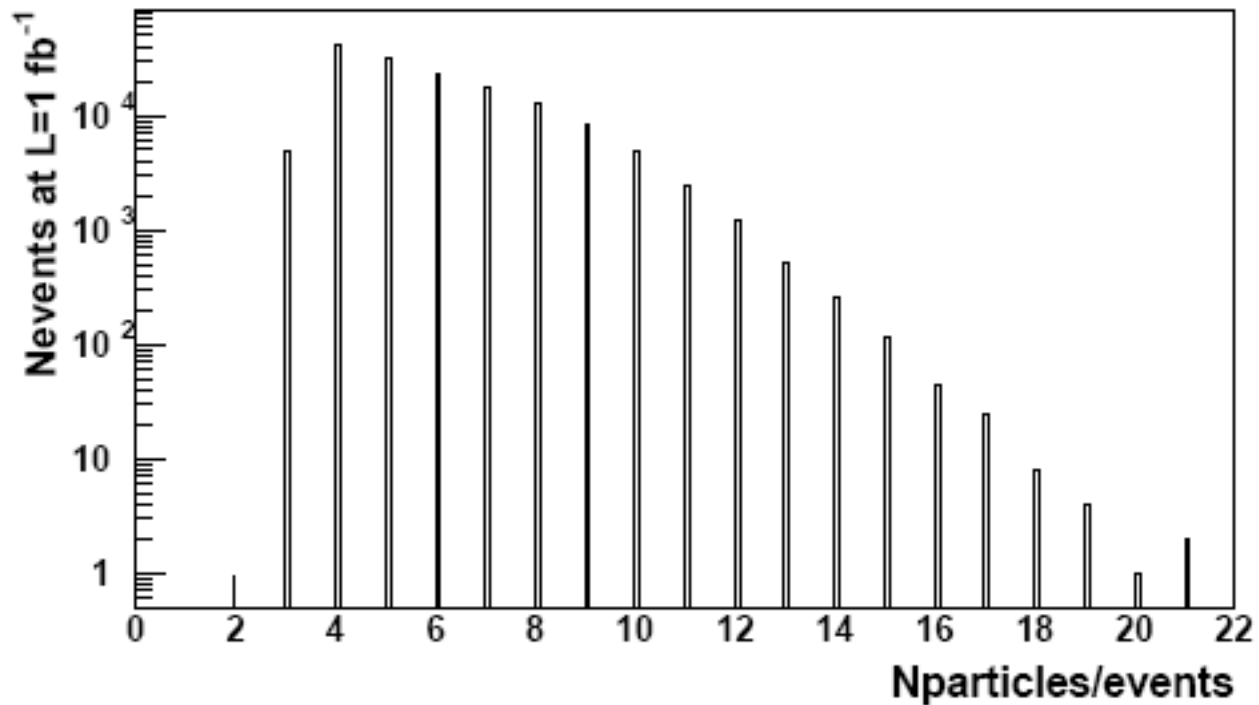
De-Chang Dai, G. Starkman, D. Stojkovic, C. Issever, E. Rizvi, J. Tseng

“BlackMax: A black-hole event generator with rotation, recoil, split branes and brane tension”,

Phys.Rev. D 77:076007, 2008, [arXiv:0711.3012v4](#)

<http://projects.hepforge.org/blackmax/>

CHARYBDIS2: number of partons in BH events



Invisible (missing) E_T from neutrinos and gravitons, in percents of total energy, CHARYBDIS2

Table 1. Particles from BH used.

M_{BH} (GeV)	n=7	n=8	n=9	n=10
> 5000	21.7	23.9	24.8	27.0
> 7000	24.5	27.2	28.1	29.9
> 10000	27.9	30.8	31.3	32.0

Table 2. Particles with $|\eta| < 2.5$ used.

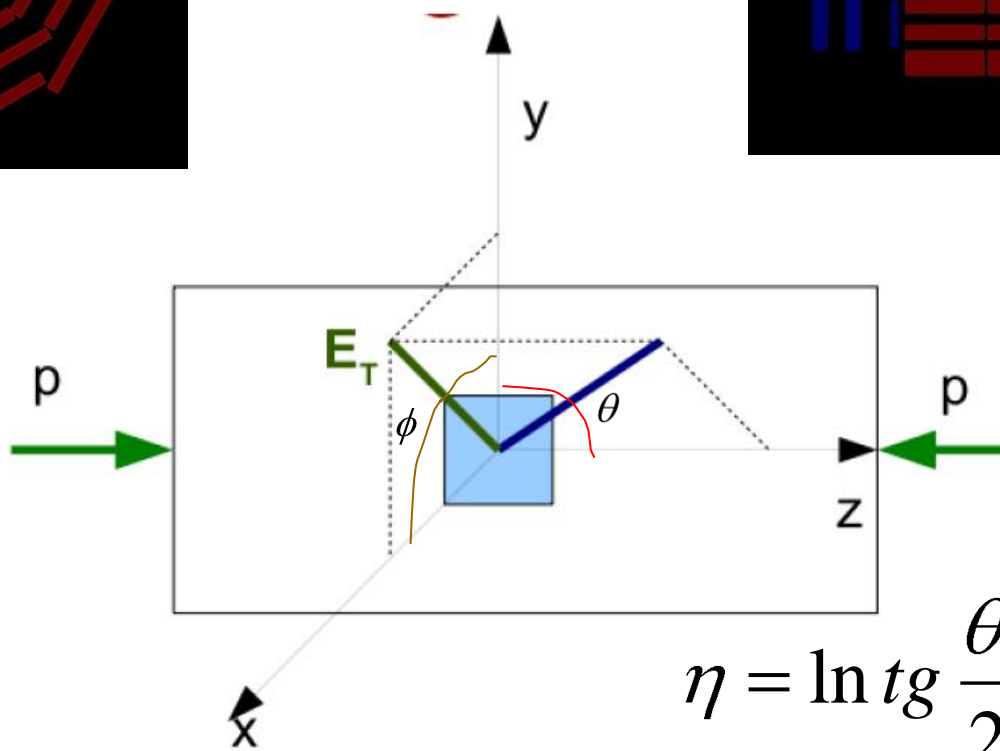
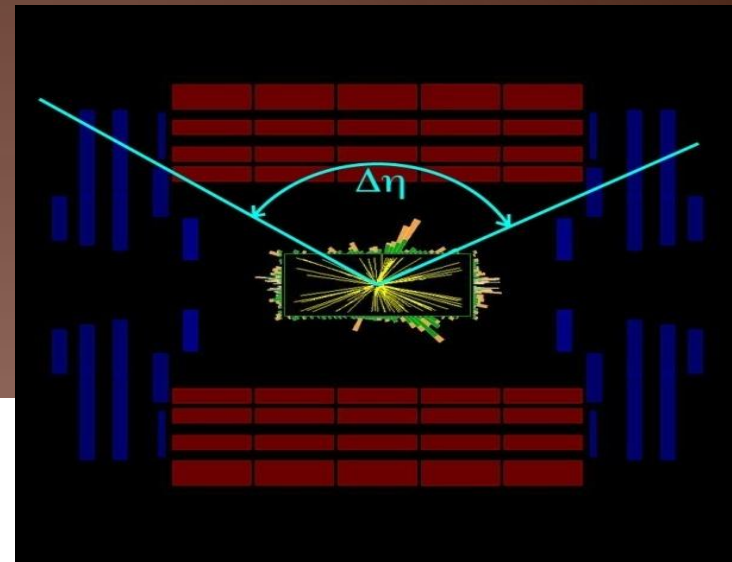
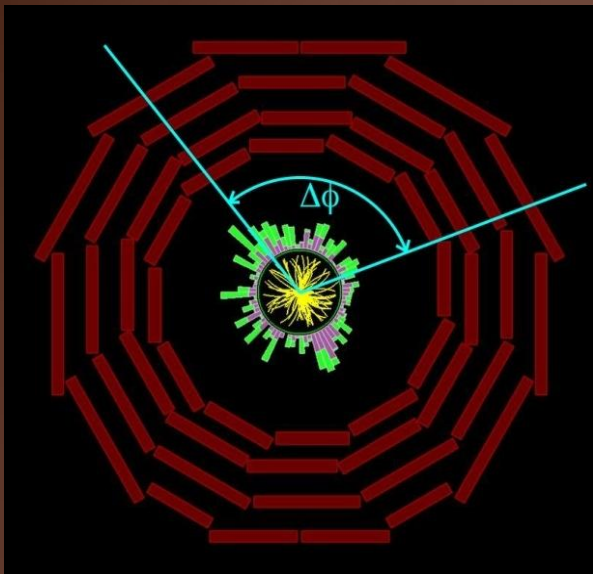
M_{BH} (GeV)	n=7	n=8	n=9	n=10
> 5000	20.8	22.8	23.4	24.5
> 7000	23.8	24.9	27.2	28.9
> 10000	27.0	28.9	30.2	31.4

Scalar sum of the transverse energies of jets

$$E_T = E \sin \theta$$

$$S_T = \sum_{i=1}^{N_{jet}} E_T$$

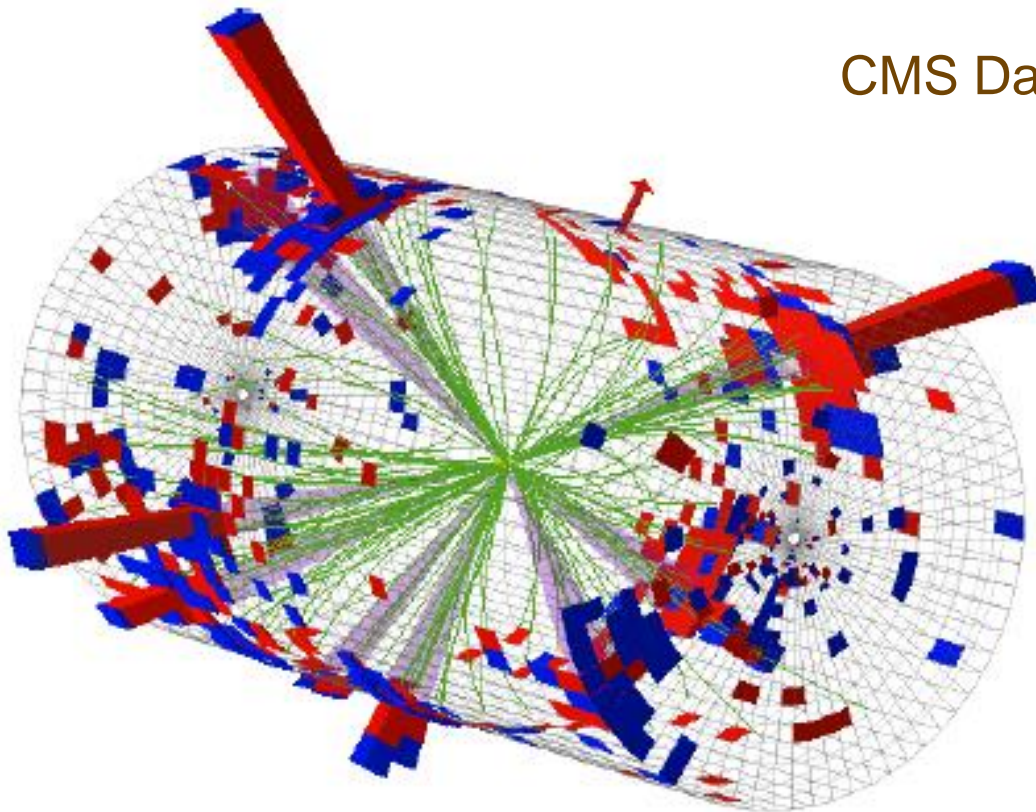
Jets, photons and leptons,
 $E_T > 50 \text{ GeV}$
 Missing $E_T > 50 \text{ GeV}$



CMS 3D real event visualisation, N = 9 BH candidate



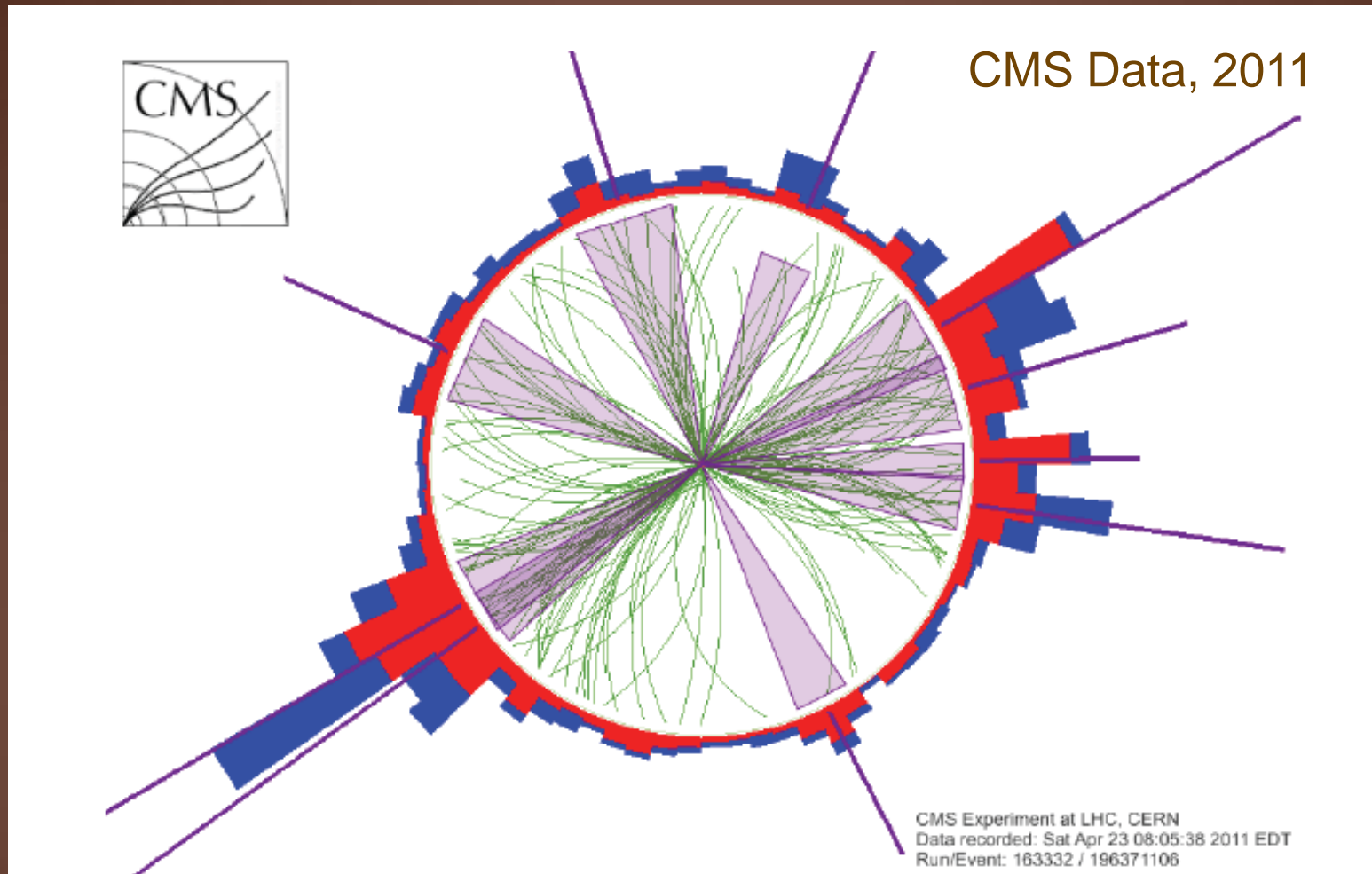
CMS Data, 2011



CMS Experiment at LHC, CERN
Data recorded: Mon May 23 21:46:26 2011 EDT
Run/Event: 165567 / 347495624
Lumi section: 280
Orbit/Crossing: 73255863 / 3161

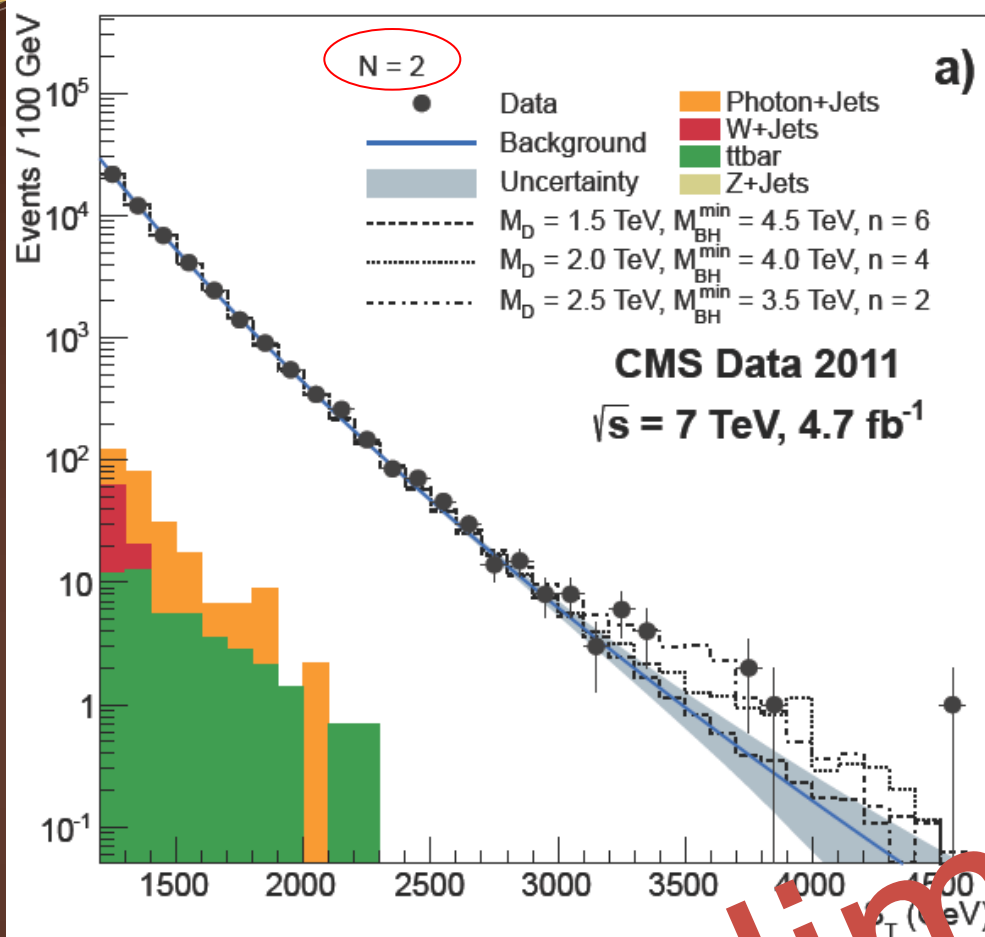
$S_T = 2.5$ TeV (Run 165567, Event 347495624)

CMS real event visualisation: the transverse view, N = 10 BH candidate

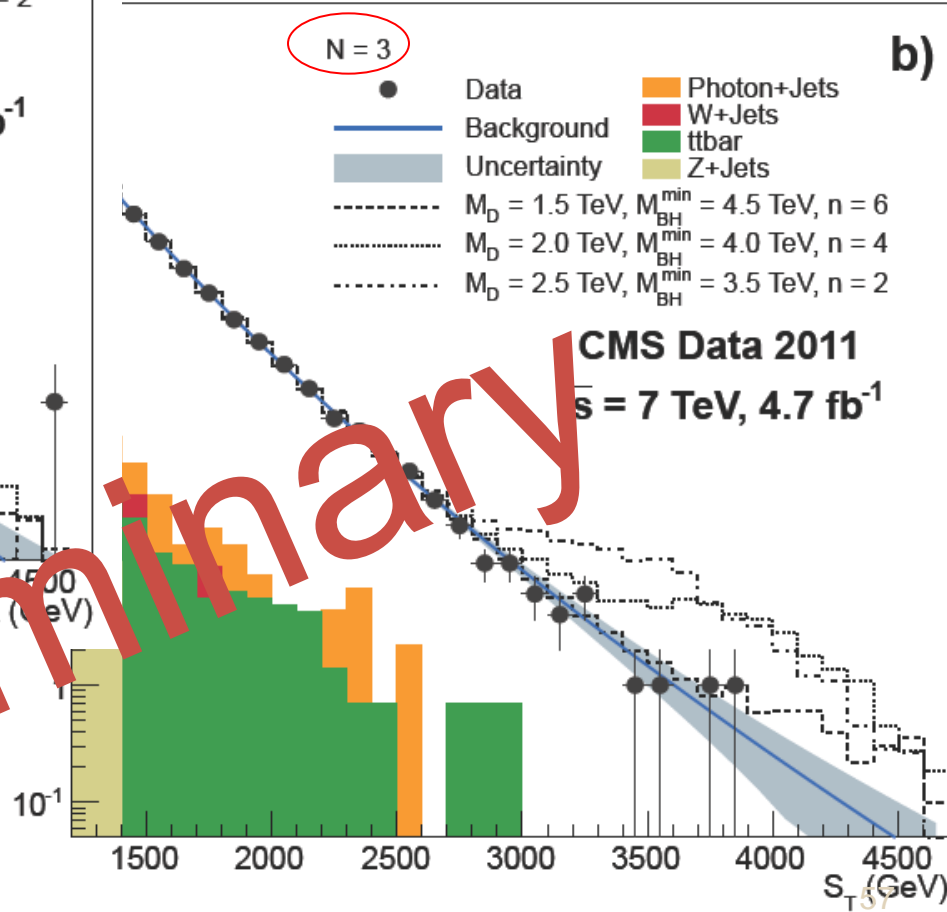


$S_T = 1.1$ TeV (Run 163332, Event 196371106)

S_T for events with N objects in the FS

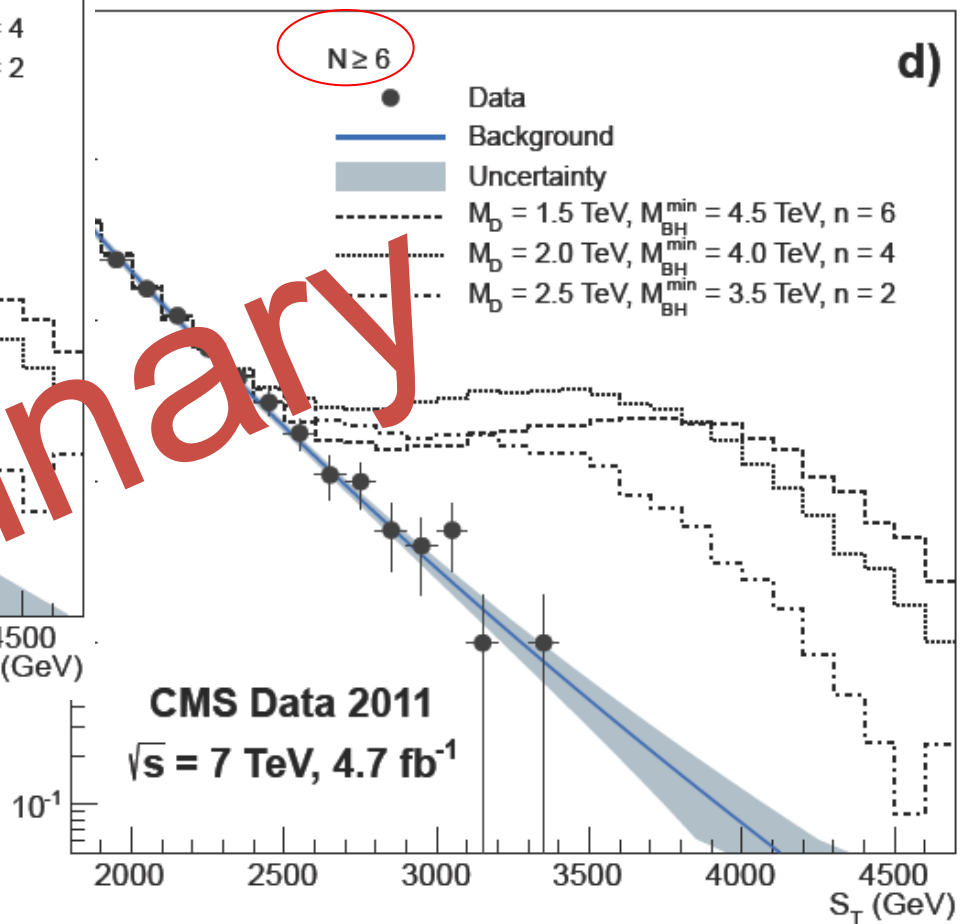
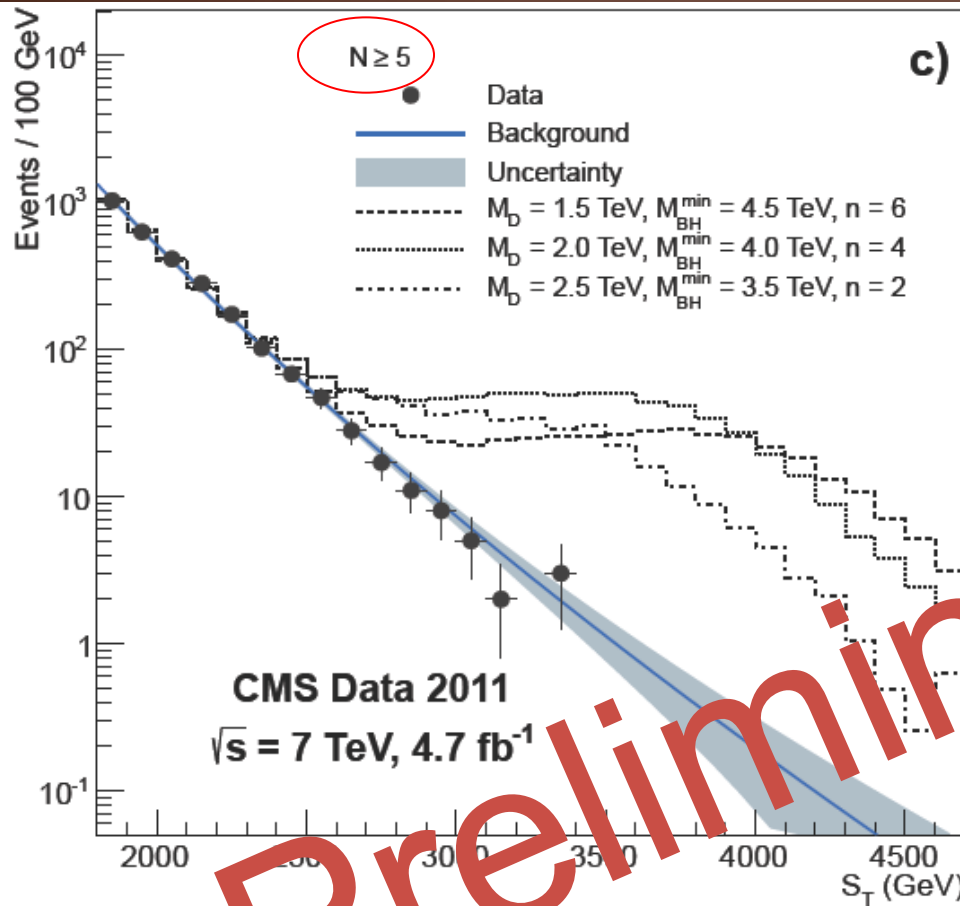


The CMS analysis 2011, 4.7 fb^{-1} :



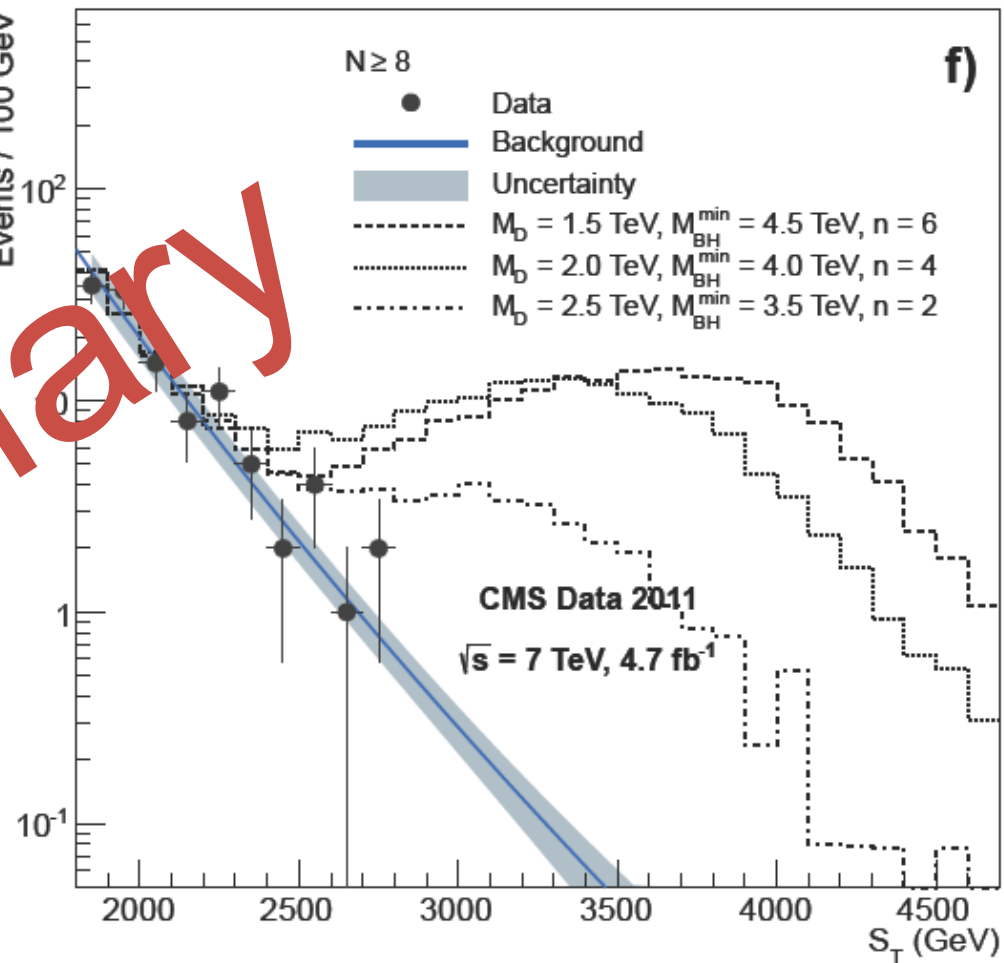
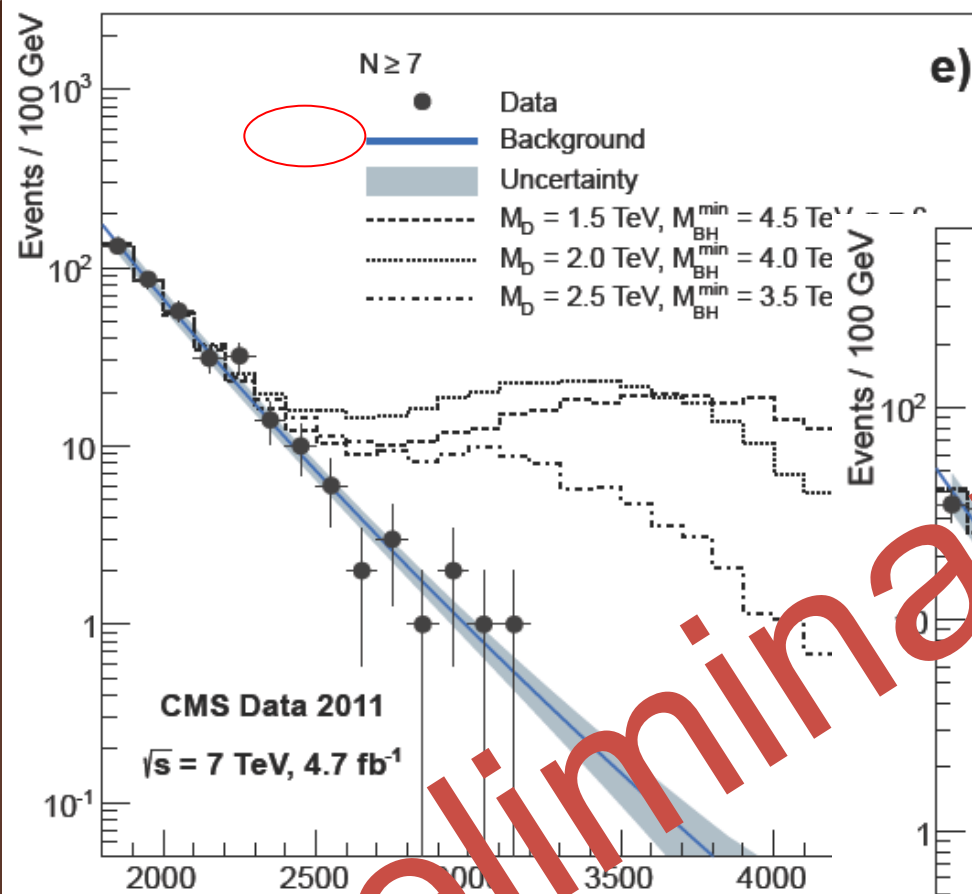
S_T for events with N objects in the FS

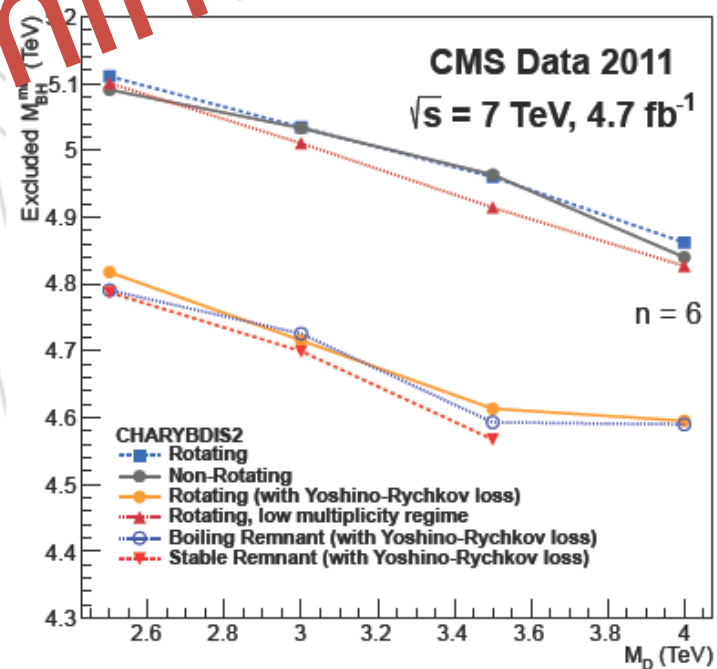
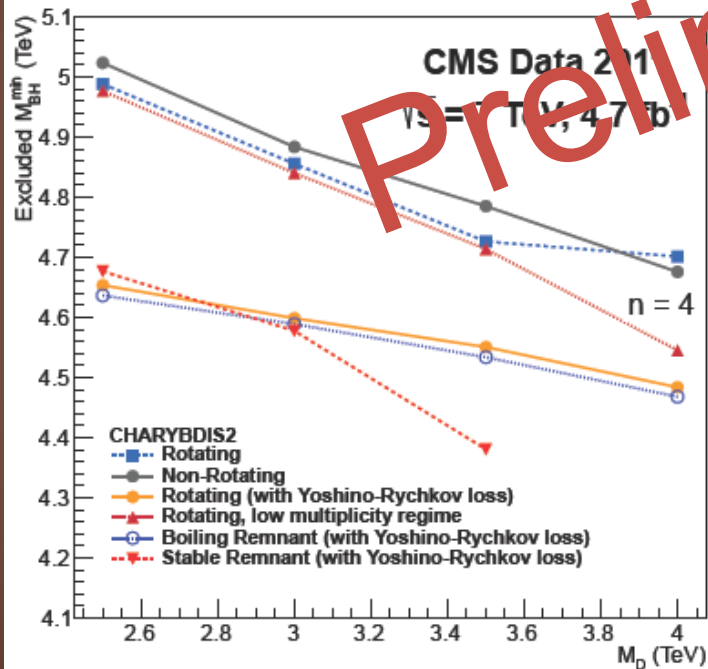
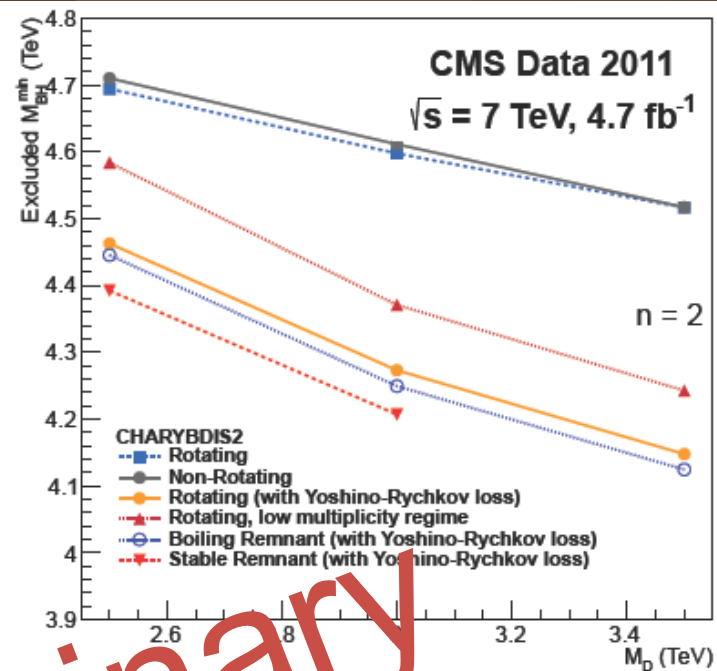
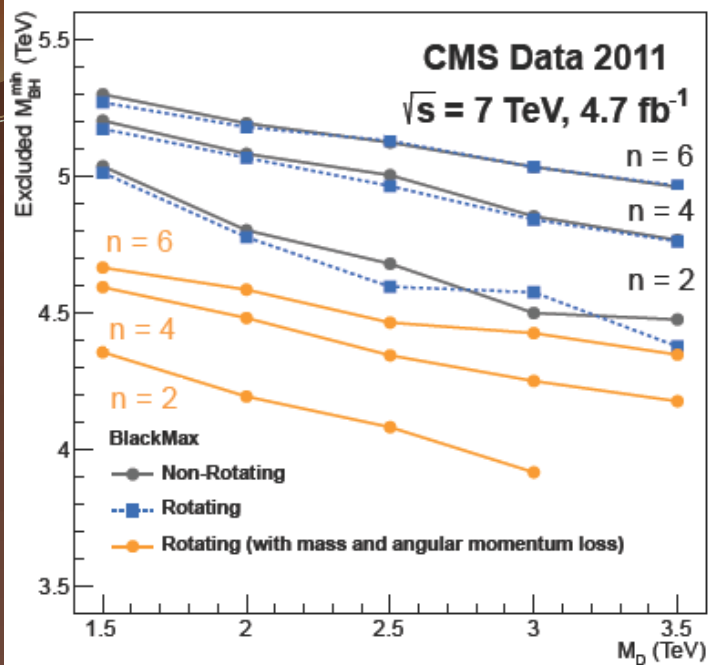
The CMS analysis 2011, 4.7 fb^{-1} :



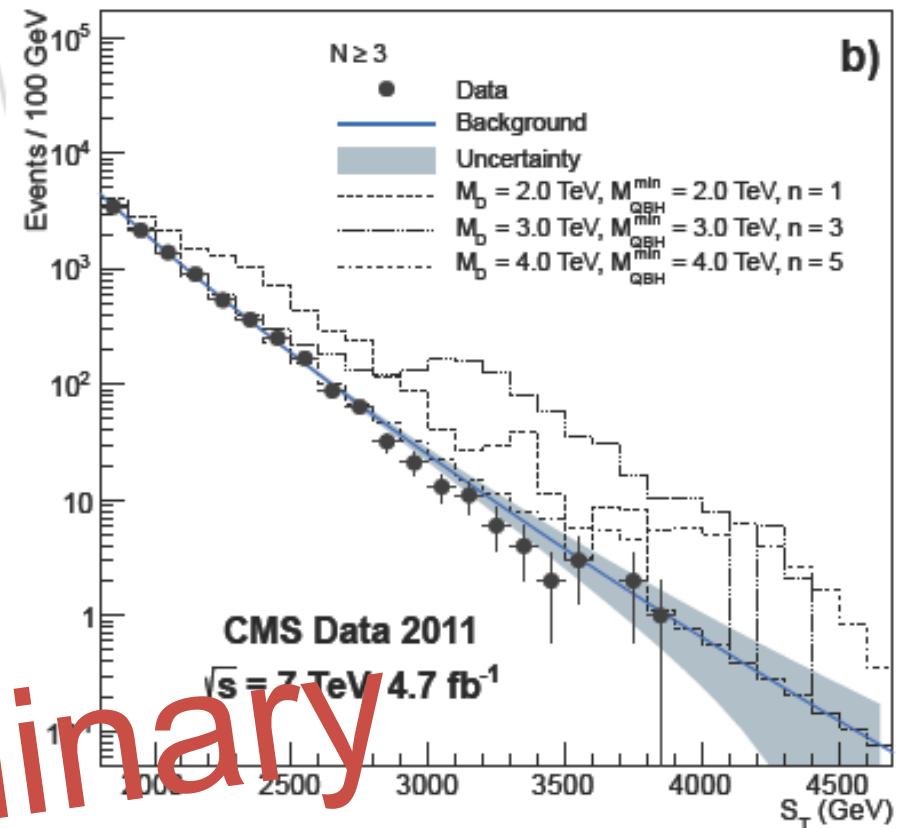
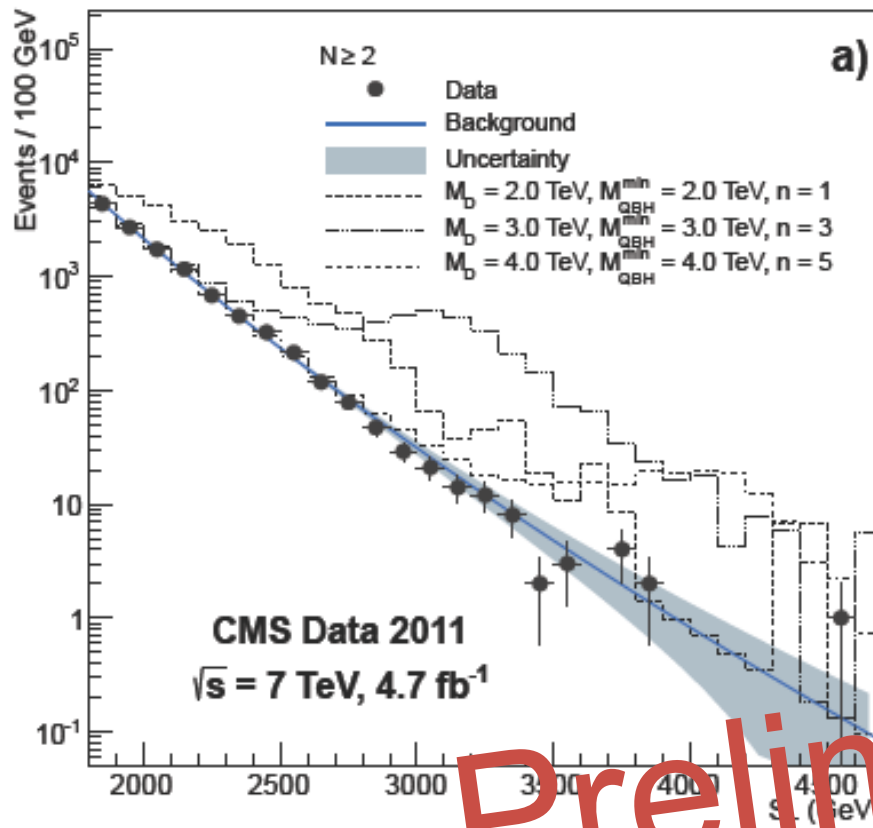
S_T for events with N objects in the FS

The CMS analysis 2011, 4.7 fb^{-1} :

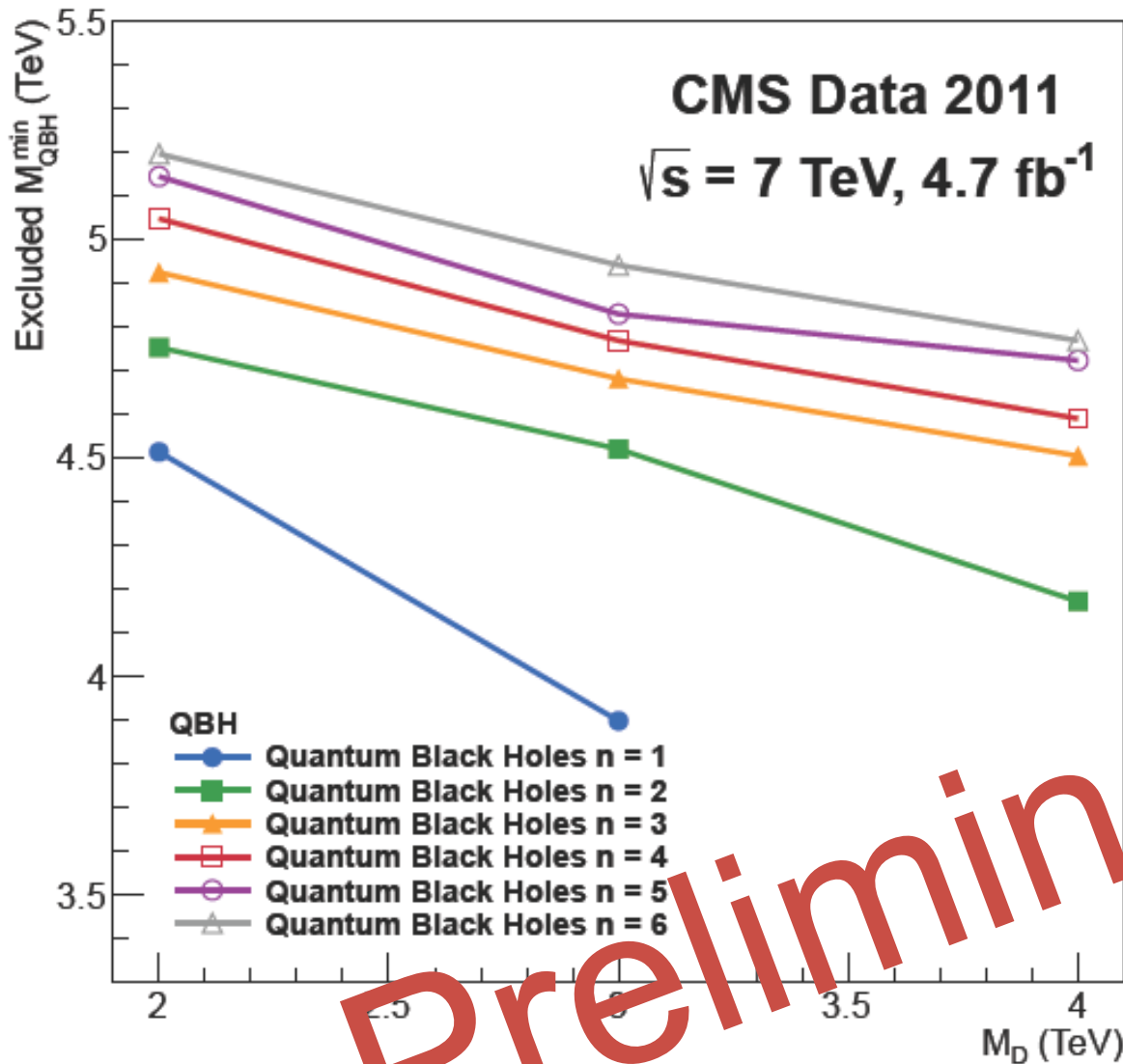




Quantum Black Holes, signatures with 2,3 jets and more



Preliminary

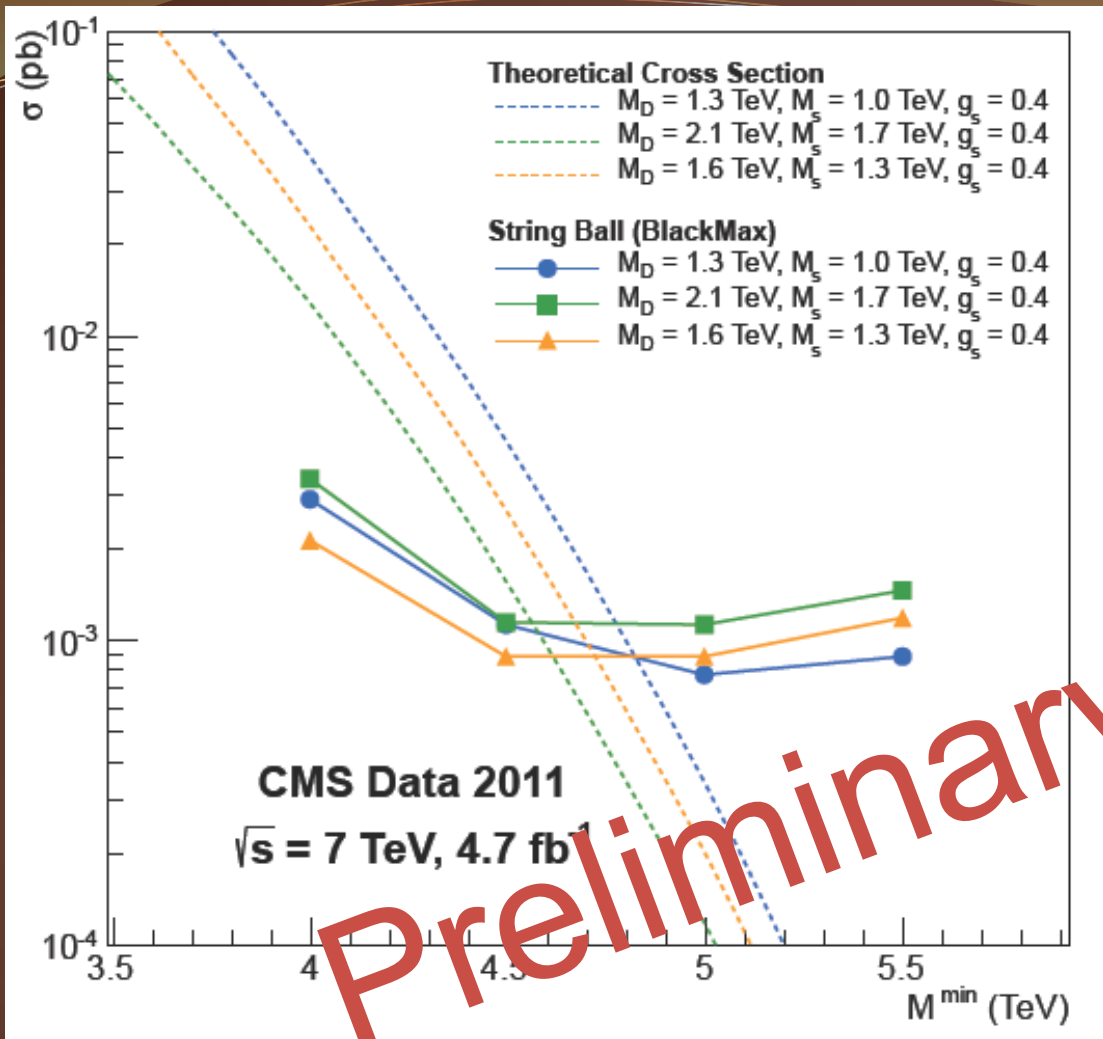


QBH Signatures

The CMS 2011, 4.7 fb^{-1}

M_{min} is excluded from
3.8 to 5.2 TeV
for
 M_D up to 4 TeV
at
95 % CL.

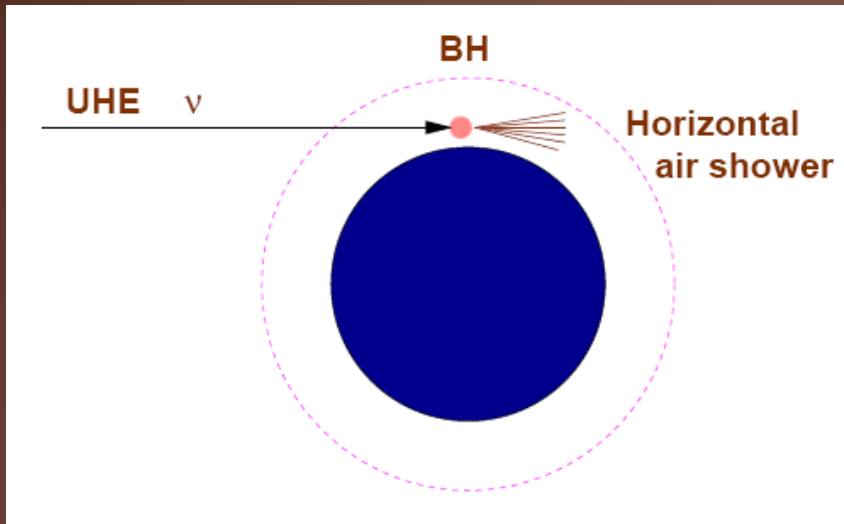
Preliminary



String ball limits from the counting experiments for a set of model parameters (string coupling $g_s=0.4$, fundamental scale M_d and string scale M_s)

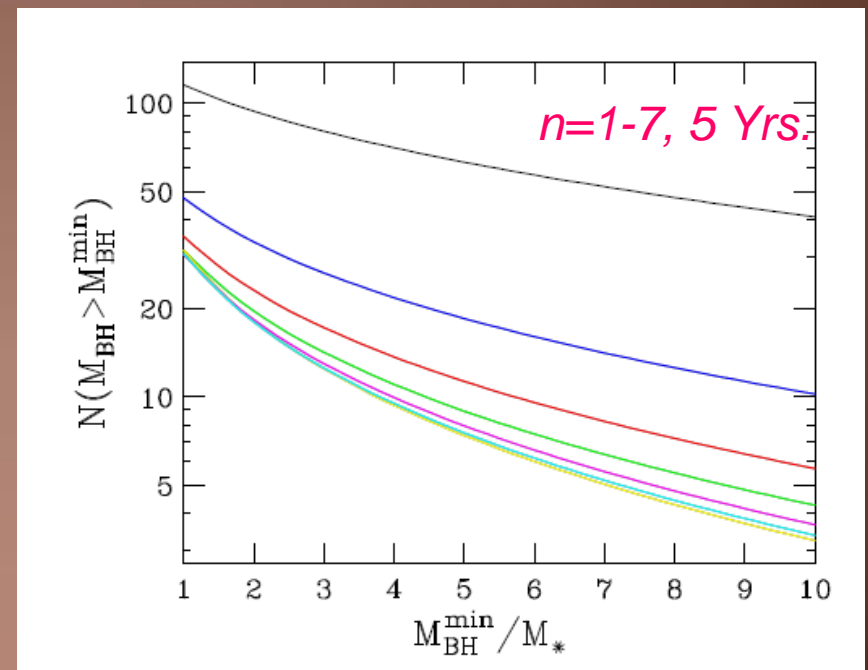
M_{\min} is excluded from 4.6 to 4.8 TeV at 95 % CL.

BH Production in UHECR

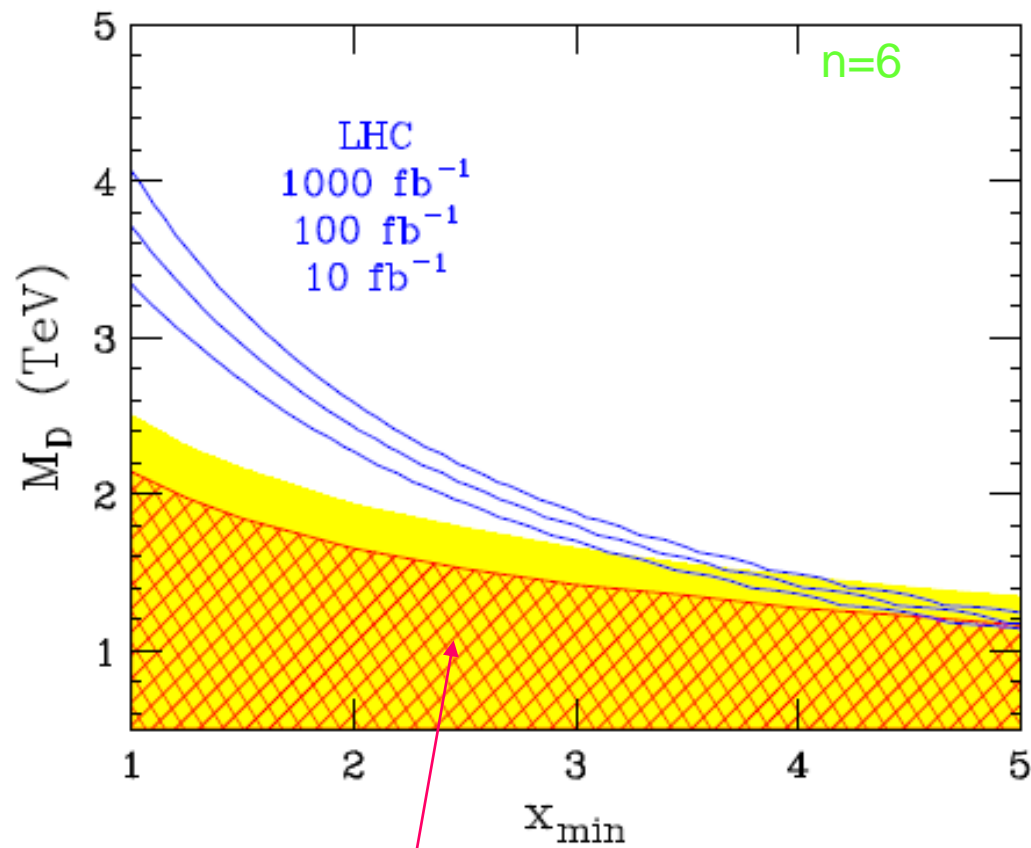


Pierre-Augur Observatory

Luis A. Anchordoqui, Haim Goldberg, and
Alfred D. Shapere, [hep-ph/0204228](#)



The discovery reaches for the LHC



This region excluded by PAO

Backup Slides

Beyond 4D – multidimensional theories and EWSB

Large extra spatial dimensions:

last decade

Planck scale is an effective scale derived from a size and(or) geometry of extra dimensions

Flat multidimensional space - Antoniadis, Arkani-Hamed, Dimopoulos, Dvali, 1988

Curve bulk space, AdS5-slice, exponential hierarchy – Randall&Sundrum, 1999.



- Higgs as a component of a multidimensional gauge field (Manton, 1980, Hosotani, 1984)
- Deconstructed dimensions, goldstone bosons, little higgs and little hierarchy (Arkani-Hamed, Cohen, Katz, Georgi 2001)
- Warped ED and the higgs from the multidimensional gauge field (Agashe, Contino, Pomarol 2003-05), the higgs as a composite scalar through AdS/CFT - correspondence (reincarnation of ideas by Georgi&Caplan, 1984)
- Higgsless models – the most radical variant (Csaki, Grojean, Pilo, Terning, Nomura, Barbieri, Pomarol, Rattazzi 2003; Hewett, Lillie, Rizzo, Davoudiasl, Cacciapaglia, Chivukula, He 2004-05)

Мир на бране – локализация полей на 3D-гиперповерхности

ТС – свои методы

КТП – локализация на топологическом дефекте

(Рубаков, Шапошников, 1983)

Потенциал «подходящего вида»

EDs могут быть развернуты
(бесконечные)

$$S^{(5)} = \int d^4x \int dy \left[\frac{1}{2} \partial_A \varphi \partial^A \varphi - V(\varphi) \right] \xrightarrow{\text{E.o.M.}} \partial_A \partial^A \varphi + \frac{\partial V}{\partial \varphi} = 0$$

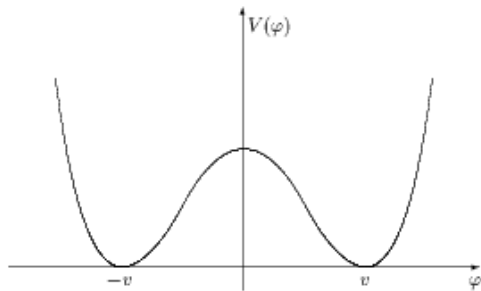


Figure 1: Scalar potential in the model (2).

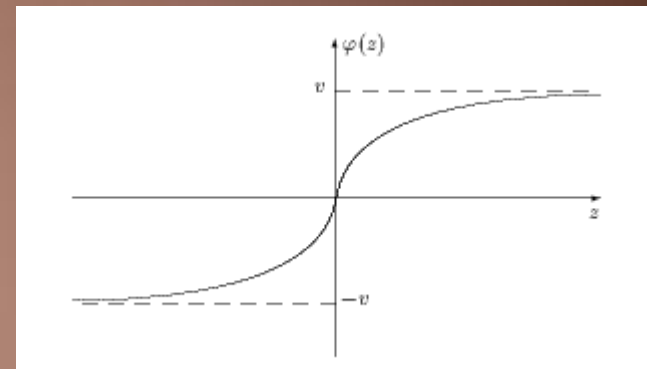
$\varphi = v$ Классические IR вакуумы теории
 $\varphi = -v$ (космологическая константа)

$$V(\varphi) = \lambda^{(5)} (\varphi^2 - v^2)^2$$

Существует топологически нетривиальное решение –
доменная стенка (кинк), зависящее только от
дополнительной координаты - одномерное

$$\varphi_c = \varphi_c(y) = v \tanh(\sqrt{2\lambda^{(5)}} vy)$$

Нарушает трансляционную инвариантность вдоль y



Флуктуации скалярного поля над этим классическим решением:

$$\varphi(x, y) = \varphi_c(y) + \delta\varphi(x, y)$$

Линеаризованные Е.о.М.

$$\partial_A \partial^A (\delta\varphi) + \frac{\partial^2 V}{\partial \varphi^2} [\varphi = \varphi_c] \delta\varphi = 0$$

потенциальная стенка

КК-декомпозиция:

$$\delta\varphi = e^{ip_\mu x^\mu} \delta\varphi_m(y),$$



$$p_\mu p^\mu = m^2 \quad \text{4D-масса}$$

$$m^2 \delta\varphi_m(y) = [-\partial_y^2 + U(y)] \delta\varphi_m$$

Нулевая мода, $m=0$

$$\delta\varphi_0(y) = \varphi_c'(y) \propto \frac{1}{\cosh(\sqrt{2\lambda^{(5)}}vy)}$$

Нулевая 4D-мода локализована на бране.

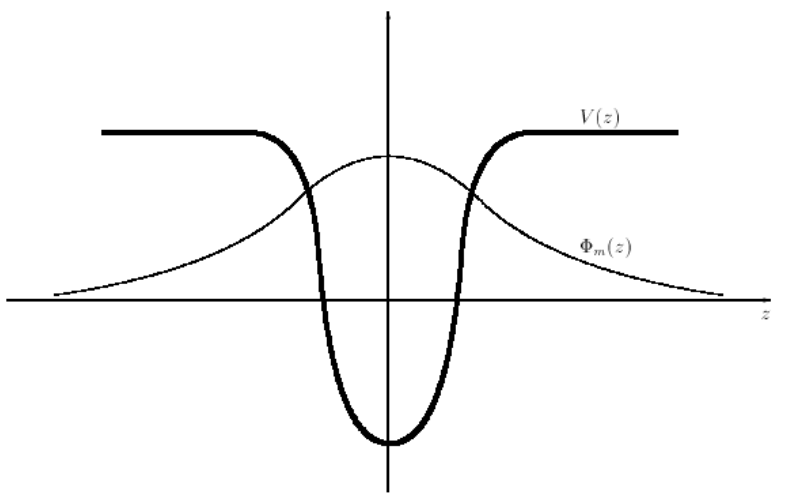
Высшие КК-моды

$$m \approx \sqrt{\lambda^{(5)}} \nu$$

дискретный спектр, отделенный от нулевой моды щелью, моды все еще группируются вблизи браны, и подавлены степенным образом вдали от нее

$$m > m_{cont} = \sqrt{8\lambda^{(5)}} \nu$$

непрерывный спектр мод, нелокализованных вблизи браны, и уходящих вдоль дополнительного измерения на бесконечность



При энергиях выше фундаментального масштаба частицы могут уходить в дополнительные измерения:

- сигналы с недостающей энергией
- пороговые эффекты
- явное несохранение энергии в процессах взаимодействий

Локализация фермионов на дефекте

$$S_\psi = \int d^4x dy (i\bar{\psi}\Gamma^A\partial_A\psi - h\phi\bar{\psi}\psi)$$

Е.о.М. $i\Gamma^A\partial_A\psi - h\phi_c(y)\psi = 0$

$$\Gamma^\mu \equiv \gamma^\mu, \quad \Gamma^5 = -i\gamma^5, \quad \{\Gamma^M, \Gamma^N\} = 2\eta^{MN}$$

Нулевая мода с $m=0$

$$i\gamma^\mu\partial_\mu\psi_0 = 0$$



$$i\Gamma^5\partial_5\psi_0 \equiv \gamma^5\partial_y\psi_0 = h\phi_c(y)\psi_0$$

Существует **единственное** решение

$$\gamma^5\psi_0 = \pm\psi_0$$



$$\psi_0 \propto e^{\pm \int_0^y h\phi_c(y') dy'}$$

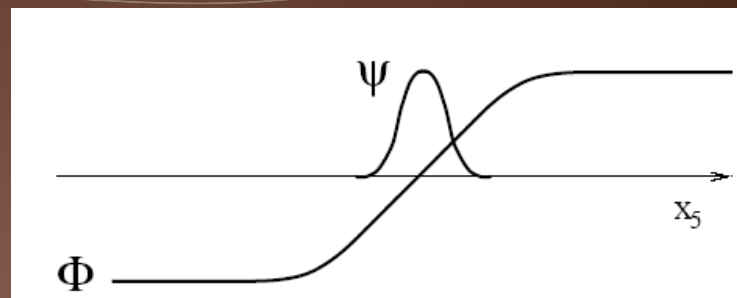
↙

$$e^{\pm hv|y|}$$



$$\gamma^5\psi_0 = -\psi_0$$

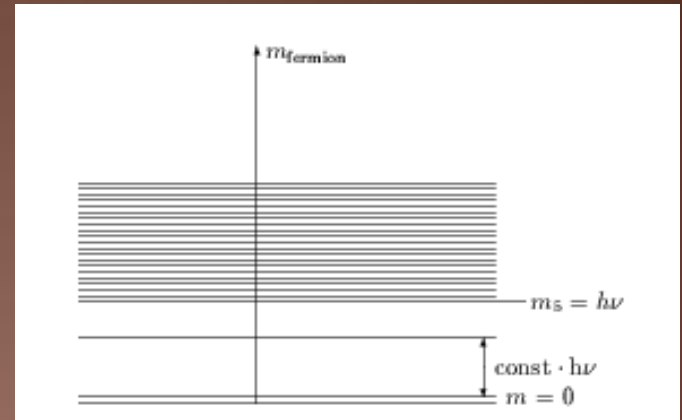
нормируемая мода



Спектр фермионных мод

$$\psi_0(x, y) = e^{-\int_0^y h \phi_c(y') dy'} \psi_L(x)$$

Нулевая мода получилась локализованной и
Киральной (теорема об индексе)



Чтобы получить несколько нулевых мод (3 поколения частиц СМ), надо увеличить число дополнительных измерений, и рассмотреть топологические дефекты высших размерностей:

N=2 – АНО вихрь

N=3 – монополь 'т Хофта-Полякова

Количество локализованных нулевых мод равно топологическому числу дефекта

Пример: юкавская иерархия масс фермионов, смешивание поколений etc.

Три нулевые фермионные моды, локализованные на одном топологическом дефекте (6D-теория, космологическая струна), имеющие разные профили:

$$\psi_0^{(1)} = f^{(1)}(\rho) \longleftarrow 1 \text{ поколение}$$

$$\psi_0^{(2)} = e^{i\theta} f^{(2)}(\rho) \longleftarrow 2 \text{ поколение}$$

$$\psi_0^{(3)} = e^{i2\theta} f^{(3)}(\rho) \longleftarrow 3 \text{ поколение}$$

1. Приблизительная симметрия вращений в перпендикулярных к бране направлениях (в доп. измерениях) обеспечивает **малое смешивание между поколениями**
2. Разные массы фермионов обеспечиваются разной радиальной формой профилей нулевых мод и разным перекрытием WF фермионов и хиггсовской нулевой моды, локализованной на дефекте
3. Слабые взаимодействия, несохраняющие лептонное и барионное число

$$\begin{array}{c} \overline{\psi}^{(1)} \tilde{W}, \tilde{Z} \psi^{(2)} \Leftrightarrow K_L \rightarrow \mu e \\ \swarrow \quad \quad \quad \nwarrow \\ f^{(1)}(\rho) \quad e^{-i\theta} W(\rho) \quad e^{i\theta} f^{(2)}(\rho) \end{array}$$

$$\tilde{W}, \tilde{Z} \propto e^{-i\theta} f^2(\rho)$$

КК-моды W, Z – сохр. угл. мом.

5D фермионы и проблема киральности

$$\Gamma^\mu = \gamma^\mu, \quad \Gamma^5 = -i\gamma^5, \quad \{\Gamma^M, \Gamma^N\} = 2\eta^{MN}$$

$$\Psi_\alpha(x, \phi) = \sum_{n=-\infty}^{\infty} \Psi_\alpha^{(n)}(x) e^{in\phi}$$

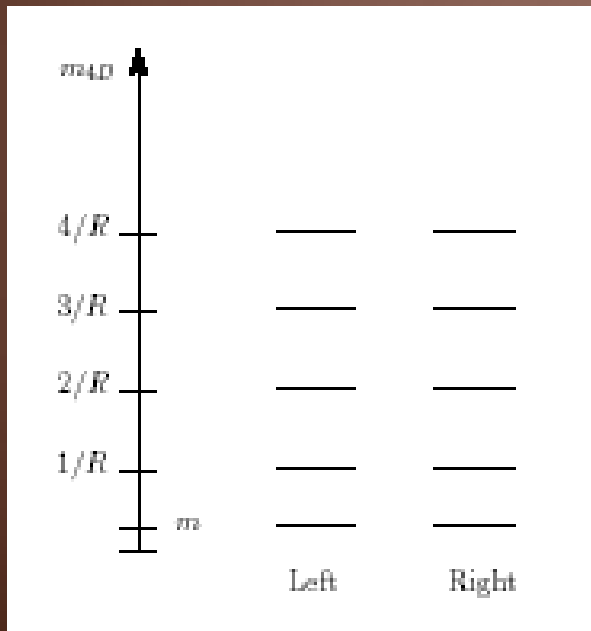


КК декомпозиция 5D фермионов

$$\begin{aligned} S_\Psi &= \int d^4x \int dx_5 \bar{\Psi} (\not{D}_M \Gamma^M - m) \Psi = \int d^4x \int dx_5 \bar{\Psi} (\not{D}_\mu \gamma^\mu - m) \Psi - \bar{\Psi} \gamma_5 \partial_5 \Psi + ig \bar{\Psi} A_5 \gamma_5 \Psi = \\ &= 2\pi R \int d^4x \sum_{n=-\infty}^{\infty} \bar{\Psi}^{(n)} \left(i\gamma^\mu \partial_\mu - m - i \frac{n}{R} \right) \Psi^{(n)} + O(\bar{\Psi} A \Psi) \end{aligned}$$

$$m_{phys}^2 = m^2 + \frac{n^2}{R^2}$$

массы КК-мод



Дублирование спектра КК-мод – 4D дираковские (а не 2-х компонентные вейлевские) спиноры –

проблема киральности

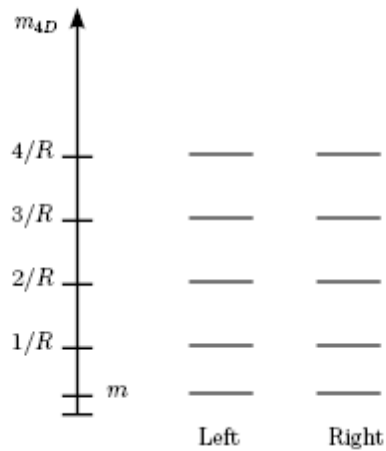
$$S_{eff} \approx 2\pi R \int d^4x \left[\bar{\Psi}^{(0)} (\gamma^\mu D_\mu - m) \Psi^{(0)} + ig \bar{\Psi}^{(0)} \gamma_5 A_5^{(0)} \Psi^{(0)} \right]$$

$E \ll \frac{1}{R}$
 $m \ll \frac{1}{R}$

4D фермионы в некиральном предст.

“юкавский” сектор

Граничные условия для полей в моделях с орбифолдингом



В общем случае 5-мерного нелокализованного фермионного поля – **некиральные** КК-моды.



Дискретная симметрия по доп. координате - орбифолд

$$\Phi(x^\mu, \varphi + 2\pi) = \Phi(x^\mu, \varphi)$$

$$\Phi(x^\mu, -x^5) = P(\Phi)(x^\mu, x^5)$$



$$P(x_5) = -x_5$$

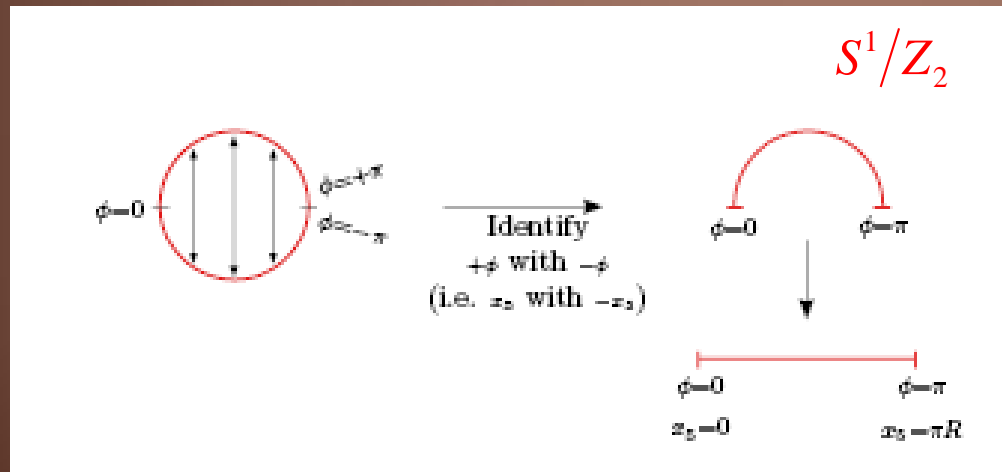
$$P(A_\mu) = +A_\mu$$

$$P(A_5^{(0)}) = -A_5^{(0)}$$

$$P(\Psi_L) = +\Psi_L$$

$$P(\Psi_R) = -\Psi_R$$

Делаем из окружности интервал – возникновение границы



Преобразования четности для полей - **точная симметрия** для нулевой массы 5D фермионов

Орбифолдинг и решение проблемы киральности

S^1/Z_2 orbifold (интервал - простейшее
сингулярное многообразие)

$$A_\mu(x, \phi) = \sum_{n=0}^{\infty} A_\mu^{(n)}(x) \cos(n\phi)$$

$$A_5(x, \phi) = 0 \quad \text{Lost "Higgs" !}$$

$$\Psi_L(x, \phi) = \sum_{n=0}^{\infty} \Psi_L^{(n)}(x) \cos(n\phi)$$

$$\Psi_R(x, \phi) = \sum_{n=1}^{\infty} \Psi_R^{(n)}(x) \sin(n\phi) \quad \text{Lost } \Psi_R^{(0)} !$$

$$P(x_5) = -x_5$$

$$P(A_\mu) = +A_\mu$$



$$P(A_5^{(0)}) = -A_5^{(0)}$$

$$P(\Psi_L) = +\Psi_L$$

$$P(\Psi_R) = -\Psi_R$$

Эффективное низкоэнергетическое действие:

$$S_{\text{eff}} \Big|_{E \ll \frac{1}{R}} = 2\pi R \int d^4x \left\{ -\frac{1}{4} (F_{\mu\nu}^{(0)})^2 + \overline{\Psi}_L^{(0)} i D_\mu \gamma^\mu \Psi_L^{(0)} \right\}$$

Киральная теория,
массовые члены
запрещены калибр.
симметрией

Виттеневская аномалия – другое представление для фермионов (3/2)

Расширенная калибровочная группа и EWSB via BC

Как вернуть хиггс в рассмотрение ?



Extended gauge group: from $SU(2) \approx SO(3)$ to $SO(4)$ (broken to $SO(3)$ by orbifold projection)

$$S = \text{tr} \int d^4x \int dx_5 \left\{ -\frac{1}{4} F_{\mu\nu} F^{\mu\nu} + \frac{1}{2} (\partial_5 A_\mu)^2 + \frac{1}{2} (D_\mu A_5^{(0)})^2 + \bar{\Psi} i D_\mu \gamma^\mu \Psi - \bar{\Psi} \gamma_5 \partial_5 \Psi + ig \bar{\Psi}_i A_5^{ij(0)} \gamma_5 \Psi_j \right\}$$

Это действие инвариантно относительно следующих преобразований четности :

$$\begin{aligned} P(A_\mu^{\hat{ij}}) &= +A_\mu^{\hat{ij}} & P(A_5^{\hat{ij}}) &= -A_5^{\hat{ij}} & P(\Psi_L^{\hat{i}}) &= +\Psi_L^{\hat{i}} & P(\Psi_R^{\hat{i}}) &= -\Psi_R^{\hat{i}} \\ P(A_\mu^{\hat{i4}}) &= -A_\mu^{\hat{i4}} & P(A_5^{\hat{i4}}) &= +A_5^{\hat{i4}} & P(\Psi_L^{\hat{4}}) &= -\Psi_L^{\hat{4}} & P(\Psi_R^{\hat{4}}) &= +\Psi_R^{\hat{4}}, \end{aligned}$$

В низкоэнергетическом приближении выживают только такие поля :

$$A_\mu^{\hat{ij}(0)}, \quad A_5^{\hat{i4}(0)}, \quad \Psi_L^{\hat{i}(0)}, \quad \Psi_R^{\hat{4}(0)},$$

4D $SO(3)$
калибр. поле

4D хиггсовский
триплет

4D левый
триплет ферм.

4D правый
синглет ферм.

ADD: Astrophysics and Cosmology Limits

- from measurements of the gravitational potential
 $d = 1$ excluded by solar system (verification of the Newton's law up to $R < 0.19$ mm)
 $d = 2$ too large value of the fundamental scale $M_C \sim 30$ TeV
- from supernova SN1987 (graviton emission speeds up the supernova cooling)

$$M_S > 30 \text{ TeV } (d = 2) , 4 \text{ TeV } (d = 3)$$

- from energy spectrum of the diffuse gamma-ray background (CDG) due to $G_{KK} \rightarrow \gamma\gamma$

$$M_S > 110 \text{ TeV } (d = 2) , 5 \text{ TeV } (d = 3)$$

The most favourable case: $n = 3$, $M_S \sim \text{TeV}$, $R_{ED} \sim 10^{-4}$ mm